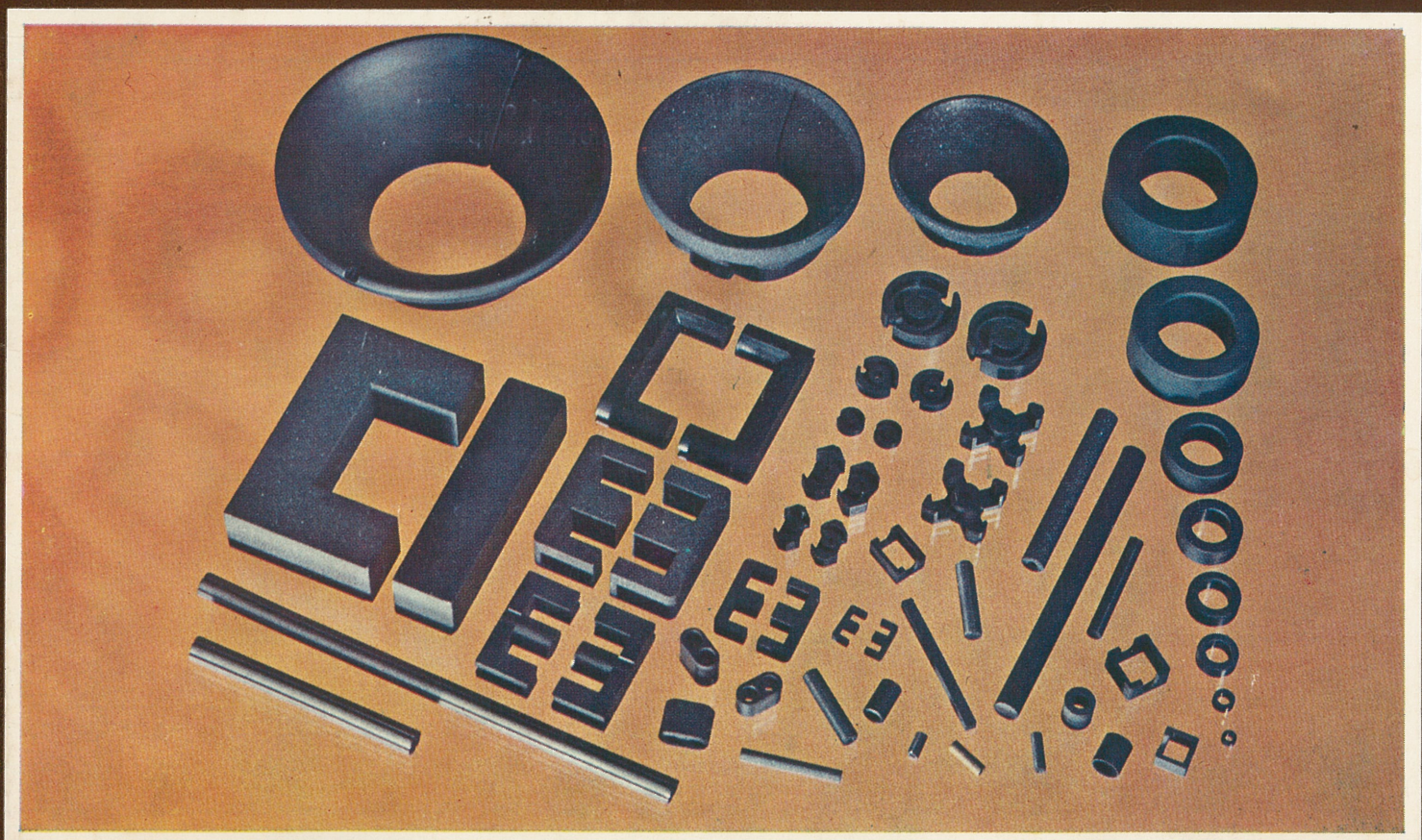


Fonox

MAGNETICKY MĚKKÉ FERITY



Pramet
ZÁVODY PRÁŠKOVÉ METALURGIE · ŠUMPERK
STÁTNÍ PODNIK

Výrobní program

POLDI DIADUR

Slinuté karbidy

● vyměnitelné břitové destičky ● břitové destičky pro pájené nože ● průvlaky ● skládací průvlaky ● pájené tažné trny ● plovoucí trny ● zápustky ● trysky ● vodící pouzdra ● součásti ze slinutých karbidů pro různé nástroje, lisovací a stříhací techniku ● destičky, válečky a roubíky pro jádrovací a přiklep-
né vrtání

URDIAMANT

Umělý diamant a výrobky z umělého i přírodního diamantu

● diamantový syntetický prášek ● diamantové brusné pasty ● diamantové průvlaky ● diamantové jádrovací korunky ● diamantové vrtáky do skla ● diamantové brusné kotouče ● diamantové zabrušovací trny ●
● frézovací a brousící kotouče pro kamenoprůmysl a stavebnictví ● diamantová vnikací tělesa pro měření tvrdosti

FONOX

Magneticky měkké ferity

● jádra pro telekomunikační techniku ● jádra pro radiotechniku a televizní techniku ● jádra pro jiné obory slaboproudé elektrotechniky

DUROX

Magneticky tvrdé ferity

● segmentové magnety pro ss motory ● magnety pro upínací systémy, uzávěry, magnetické filtry a separátory ● magnety pro organizační techniku a plánovací tabule ● systémy s feritovými magnety ● veterinární magnety

NEGOHM

Negativní termistory

● tyčinkové, destičkové, šroubové a perličkové termistory pro měření a regulaci teplot, teplotní kompenzaci, měření vlhkosti a tlaku plynů

Pozitivní termistory

● destičkové termistory pro ochranu elektrických točivých strojů a indikaci teplot

DIAFRIKT

Kovokeramické třecí materiály

● lamely spojek ● unášecí kotouče ● třecí disky ● třecí segmenty ● brzdové písty ● stavěcí pouzdra ● různé tvarové aplikace

KONTAKTNÍ MATERIÁLY VYSOKONAPĚŤOVÉ I NÍZKONAPĚŤOVÉ

● kontakty pro lamely spínačů ● opalovací kontakty pro spínací hlavice ● kontakty pro bodové svařování ● kontakty pro olejové jističe ● kontakty pro stykače ● univerzální kontakty pro slaboproud ● různé tvarové aplikace

VÝROBKY PRO ŘÍDÍCÍ A VÝPOČETNÍ TECHNIKU

● paměťové matice a bloky s feritovými jádry ● magnetické hlavy pro diskové paměti

| | |
|--|----|
| ÚVOD | 2 |
| MAGNETICKY MĚKKÉ FERITY | 3 |
| POUŽITÍ FERITOVÝCH MATERIÁLŮ | 3 |
| STRUKTURA FERITŮ „FONOX“ | 4 |
| ELEKTROMAGNETICKÉ VLASTNOSTI | 4 |
| 1. PERMEABILITA | 4 |
| 2. MAGNETIZAČNÍ CHARAKTERISTIKY | 6 |
| 3. ZMĚNY V ZÁVISLOSTI NA TEPLOTĚ | 6 |
| 4. ZTRÁTY V JÁDŘE | 6 |
| 5. REZISTIVITA ρ | 7 |
| 6. SOUČINITEL INDUKČNOSTI A_L | 7 |
| 7. SOUČINITEL ODPORU A_R | 8 |
| 8. ČASOVÁ KONSTANTA τ | 8 |
| 9. ČASOVÁ NESTABILITA PERMEABILITY | 8 |
| TABULKA MATERIÁLŮ „FONOX“ | 20 |
| DOPORUČENÉ POUŽITÍ MAGNETICKY MĚKKÝCH FERITŮ | 22 |
| KATALOGOVÁ ČÁST | 23 |
| TOROIDY | 24 |
| FERITOVÉ ANTÉNY | 25 |
| FERITOVÉ ANTÉNY DRÁŽKOVANÉ | 26 |
| TYČINKY | 27 |
| TRUBIČKY | 28 |
| E-JÁDRA | 29 |
| U-JÁDRA | 31 |
| I-JÁDRA | 33 |
| EC-JÁDRA | 34 |
| ZÁVITOVÁ JÁDRA | 35 |
| HRNÍČKOVÁ JÁDRA | 36 |
| JÁDRA PRO VYCHYLOVACÍ CÍVKY | 40 |
| C-JÁDRA | 43 |
| X-JÁDRA | 44 |
| DVOUOTVOROVÁ JÁDRA | 46 |
| ZVONKOVÁ JÁDRA | 47 |
| JÁDRA PRO MF TRANSFORMÁTORY | 48 |
| DOLAĐOVACÍ JÁDRA | 50 |
| RM-JÁDRA | 51 |
| SPECIÁLNÍ VÝROBKY | 53 |



Úvod

Nové vydání katalogu magneticky měkkých feritů obsahuje základní technické údaje, které jsou potřebné při vývoji a konstrukci elektronických zařízení. Výrobky uvedené v tomto katalogu splňují podmínky čs. státních norem a mezinárodních doporučení IEC a RVHP.

Označují se dvanáctimístným číslem JK. U těchto feritových výrobků jsou úvodní čtyři čísla shodná,

2055.. ..

pátá a šestá číslice označuje příslušný materiál:

| | |
|-----------|-------------|
| 11 — H 6 | 25 — H 7 |
| 12 — H 11 | 26 — H 3 R |
| 13 — H 12 | 31 — N 01 |
| 14 — H 10 | 32 — N 02 |
| 15 — H 18 | 33 — N 05 |
| 16 — H 20 | 34 — N 1 |
| 17 — H 22 | 35 — N 2 |
| 19 — H 23 | 36 — N 01 P |
| 21 — H 21 | 37 — N 08 P |

Osmé až dvanácté místo číselného kódu charakterizují tvar a rozměry výrobku.

Výrobky, které jsou označeny * nejsou v době vydání katalogu ve výrobě. Jejich vzorkování provádí technický rozvoj.

FOTLOX

Při průchodu střídavého proudu cívkou navinutou na feromagnetickém jádru vzniká uvnitř jádra magnetické pole, jež je příčinou vzniku vířivých proudů, které se projevují jako ztráta energie. Tato ztráta je známa jako ztráta vířivými proudy a je do značné míry ovlivněna odporem materiálu jádra. Jeho vliv je poněkud omezen tím, že jádro není kompaktní celek, ale je složeno z lamel, při čemž jednotlivé lamely jsou od sebe vzájemně odizolovány. Tím se omezí dráha vířivých proudů. V případě daného kmitočtu a magnetické indukce lze ztráty vířivými proudy omezit dvěma způsoby:

- a) zmenšováním tloušťky lamel (plechů)
- b) zvýšením měrného odporu materiálu

Při prvním způsobu hrají důležitou úlohu výrobní náklady, které stoupají se snižující se tloušťkou plechu. To znamená, že existuje hranice tloušťky plechů, jež je ještě ekonomicky únosná. Navíc při snižování tloušťky plechů roste izolace a faktor plnění se snižuje. Známé a komerčně vyráběné kovové feromagnetické materiály mají nízkou rezistivitu řádově $10\text{--}10^2 \mu\Omega\text{cm}$. Pokusy o zvýšení rezistivity neměly žádoucí úspěch i když tlak telekomunikační techniky, která přecházela na vyšší frekvence, byl značný. Významný krok byl vykonán zavedením práškových jader, a to zejména z karbonylového železa, alsiferu, permaloye atd. Základem práškových feromagnetických materiálů jsou částičky kovů nebo slitin, vázané izolačním prostředím takovým způsobem, že jsou vzájemně odizolovány. Tato metoda přinesla podstatné snížení ztrát vířivými proudy, ale zároveň značné snížení permeability. Ze známých materiálů mají nejvyšší permeabilitu jádra z práškového permaloye cca 120. Pokles permeability proti kompaktnímu kovovému materiálu je způsoben pojivou izolační hmotou, která se chová jako rozptýlená vzduchová mezera, kterou nelze zmenšit. Další snižování ztrát vířivými proudy zmenšováním částiček feromagnetického materiálu a tím získání možnosti pracovat na vyšších kmitočtech zapříčiňuje další snižování permeability. Další cestou bylo hledání materiálů s vysokou rezistivitou. Došlo se až k nekovovým látkám, a to oxidům

železa a feritům. Poprvé se podařilo připravit nekovovou hmotu s feromagnetickými vlastnostmi roku 1900 německému fyziku Hilpertovi. I když materiál měl velmi vysokou rezistivitu ($10^5\text{--}10^7 \Omega\text{cm}$) a tedy zanedbatelné ztráty vířivými proudy, celkové ztráty byly vysoké a permeabilita nízká. První použitelné ferity připravil v roce 1933 Snoek spékáním směsných krystalů feritů. Připravil materiály s vysokou rezistivitou $10\text{--}10^8 \Omega\text{cm}$ a s počáteční permeabilitou $10\text{--}3\,000$. Největšího rozšíření doznaly manganatozinečnaté ferity.

Vysoký specifický odpor feritů lze vysvětlit tím, že mají elektrony vázané valenčními silami. Naproti tomu kovové feromagnetické materiály mají elektrony velmi volně vázané a pro jejich uvolnění z oběžných drah stačí nepatrná energie. Odtud tedy vysoká vodivost a nízká rezistivita, tím také vysoké ztráty vířivými proudy.

V ČSSR bylo započato s průmyslovou výrobou feritů v roce 1956 v n. p. PRAMET Šumperk. Prvním vyráběným materiálem bylo lithno-zinečnatý ferit LHB s $\mu_i = 50$ pro anténní tyče. Výzkum materiálu prováděl Výzkumný ústav pro elektrotechnickou fyziku v Praze.

Dalším materiálem byl manganato-zinečnatý ferit H8 s $\mu_i = 800$ pro jádra vychylovacích cívek a nikelnato-zinečnatý ferit N 10 s $\mu_i = 1\,000$ pro jádra řádkových transformátorů. Současně se započítím průmyslové výroby byla rovněž vytvořena vývojová skupina, která z počátku řešila technologické problémy a později po vytvoření Výzkumného ústavu pro práškovou metalurgii započala s výzkumem materiálu. Důležitým problémem, který byl zvládnut, byl výpal manganato-zinečnatého feritu v řízené atmosféře. Ve VÚPM byly vyvinuty postupně materiály H 11, H 12, H 20, H 6. Aplikací nových výrobních postupů byl zlepšen materiál H 10 a vytvořeny materiály H 18 a H 22. Použitím výzkumných prací VÚPEF (VÚST) Praha byla průmyslové výrobě přizpůsobena a zavedena řada nikelnato-zinečnatých feritů N 2, N 1, N 05, N 02, N 01. Výzkumem byl připraven perminarový ferit N 01 P a N 08 P, dále manganatozinečnaté ferity H 23, H 21, hořečnatý ferit s vysokou hodnotou rezistivity H 3 R a připravují se další.

Použití feritových materiálů

Feritové materiály se vyrábí pro použití pro přenos informace a pro přenos výkonu. Zásadní rozdíl v zaručovaných elektromagnetických parametrech je následující:

- a) U materiálů pro přenos informace je zaručována:
 - Počáteční permeabilita μ_i , která je měřena při amplitudě magnetické indukce menší než 0,5 mT.
 - Měrný ztrátový činitel $\text{tg}\delta/\mu_i$, měřený zpravidla při kmitočtu 0,1 MHz a amplitudě magnetické indukce menší než 0,5 mT.
 - Součinitel hysterezních ztrát η_B , určuje přírůs-

tek ztrát v závislosti na růstu amplitudy magnetické indukce.

- Měrný teplotní činitel počáteční permeability TK_{μ_s} , který dává informaci o teplotní stabilitě v intervalu teplot $20\text{--}60^\circ\text{C}$.
- Mezní pracovní teplota.
- b) U materiálů pro přenos výkonu se užívá názvosloví dle doporučení mezinárodní komise pro elektrotechniku IEC.
 - Nejvyšší měrné ztráty (u jádra celkové ztráty) při dané amplitudě magnetické indukce B_a , kmitočtu f a určité teplotě. Zpravidla to bývá

$B_a = 0,2 \text{ T}$, $f = 15 \text{ kHz}$, $\vartheta = 23^\circ\text{C}$ nebo teplotní interval $60\text{--}100^\circ\text{C}$.

- Nejnižší zaručená amplituda (vrcholová hodnota) magnetické indukce B sinusového tvaru daného kmitočtu při dané vrcholové hodnotě intenzity magnetického pole H a teplotě 100°C . Zpravidla se uvádí B_{\min} při $H = 250 \text{ A/m}$ a $\vartheta = 100^\circ\text{C}$
- Amplitudová permeabilita μ_a
- Mezní pracovní teplota.

Ze srovnání obou skupin feritových materiálů je zřejmé, že u materiálů pro přenos informace je výroba podřízena tomu, aby byly zajištěny parametry právě v oblasti počáteční permeability. U materiálů pro

přenos výkonu není oblast počáteční permeability rozhodující, ale klade se požadavek na vysokou hodnotu indukce a nízké měrné ztráty při pracovní teplotě.

Většina feritových materiálů patří tedy do první skupiny, pouze materiál H 21 byl vyvíjen pro výkonové použití. Nelze však jednoznačně tvrdit, že by za určitých podmínek nebylo možné použít některých dalších materiálů pro přenos výkonu. Konkrétní aplikace u odběratelů to potvrzují.

Nikelnato-zinečnaté ferity nejsou při $f = 10\text{--}50 \text{ kHz}$ pro přenos výkonu vhodné pro malou amplitudovou permeabilitu a vyšší měrné ztráty vlivem H . Rovněž nejsou vhodné materiály H 10, H 18 a H 22 z důvodu nízké Curieovy teploty.

Příznivé podmínky jsou u materiálů H 11, H 12 a H 20.

Struktura feritů Fonox

Ferity jsou chemické sloučeniny, které lze vyjádřit obecným vzorcem MeFe_2O_4 , kde Me je dvojmocný kov, výjimečně také jednomocný. Z dvojmocných kovů jsou obvyklé Mn, Ni, Zn, Mg, Cu, Fe, Cd, z jednomocných Li. První pozorování magnetizmu byly prováděny u magnetu $\text{FeO} \cdot \text{Fe}_2\text{O}_3$. V tomto minerálu se vyskytuje železo ve dvou valencích Fe^{2+} a Fe^{3+} . Chemicky lze magnetit vyjádřit $\text{Fe}^{2+}\text{Fe}^{3+}_2\text{O}_4^{2-}$ a je nám znám jako ferit železitý nebo také oxid železnato-železitý. Jeho rezistivita je asi $10^{-4} \Omega\text{m}$, který i když je nepoměrně vyšší než u vlastního železa, je ještě příliš nízký, chceme-li podstatně snížit ztráty vířivými proudy. Zjistilo se, že nahrazením železnatého iontu některým výše uvedeným dvojmocným (jedno) mocným iontem získáme materiál, jehož rezistivita je řádově $1\text{--}10^4 \Omega\text{m}$ a tedy ve srovnání s běžnými kovovými feromagnetickými materiály $10^6\text{--}10^{12}$ krát větší. Výrobní postup spočívá v tom, že základní suroviny se smíchají, přežijí, znovu rozemelou, zgranulují nebo vysuší, lisují nebo protlačují, vypálí a případně upraví broušením. Při konstrukci součástí z feritu je dobré vyhýbat se náhlým změnám průřezu, které

dělají potíže při lisování. Šterbiny, mezery lze lisovat pouze ve směru rovnoběžném se směrem lisovacího tlaku. Stejnorodý průřez zaručuje větší pevnost a vylučuje větší deformace tvaru, vznikající nerovnoměrným smršťováním při výpalu.

Smrštění dosahuje cca 20 %. Je způsobeno několika faktory a nelze přesně stanovit. Z tohoto důvodu jsou tolerance rozměrů feritových výrobků větší.

Vypálené výrobky lze opracovat pouze broušením, řezáním diamantovou pilou nebo obrábět ultrazvukem. Broušení se provádí brusnými kotouči, segmenty nebo práškem na bázi SiC nebo diamantu. Při obrábění nesmí dojít k lokálnímu přehřátí, jinak dojde k prasknutí součástí. Je proto nutné používat malé úběry a silné chlazení vodou. Broušením se dosahuje střední povrchové nerovnosti lepší než $0,5 \mu\text{m}$. Feritové součásti lze dobře lepit epoxydovými pryskyřicemi. Lepené plochy však musí být dobře odmaštěny.

Feritové výrobky jsou tmavošedé až černé barvy, tvrdé, nízkoporézní, keramického charakteru, chemicky inertní, odolné vlhkosti a atmosférickým podmínkám.

Elektromagnetické vlastnosti

Jednotlivé pojmy a definice odpovídají ČSN 35 80 05, zpracované na základě „Mezinárodního elektrotechnického slovníku - skupina 5“, doporučení IEC publikace 125.

1. PERMEABILITA

V oblasti feritů se setkáváme s těmito druhy permeability: počáteční, amplitudová, vratná, komplexní, efektivní a cívková.

1.1 Počáteční permeabilita μ_i

je permeabilita určená směrnicí tečny magnetizační charakteristiky v bodě $H = 0$, $B = 0$.

$$\mu_i = \frac{1}{\mu_0} \lim_{H \rightarrow 0} \frac{B}{H}$$

kde μ_0 ... magnetická konstanta ($\text{H} \cdot \text{m}^{-1}$)

H , B ... souřadnice bodů dané magnetizační charakteristiky ($\text{A} \cdot \text{m}^{-1}$; T)

V praxi se nahrazuje obvykle amplitudovou permeabilitou měřenou při malých amplitudách střídavé intenzity magnetického pole ($B \leq 0,5 \text{ mT}$) popř. magnetické indukce a bez ss předmagnetování. Počáteční permeabilita je materiálovou konstantou a je uvedena pro různé materiály v tabulce materiálových vlastností.

1.2 Efektivní permeabilita μ_e

je permeabilita, kterou by měl mít hypotetický homo-

genní materiál, aby se dosáhla (za předpokladu neexistence roztypových toků) při stejných rozměrech, stejná celková reluktance, jako má jádro vyrobené z různých materiálů.

$$\mu_e = \frac{1}{\mu_o} \frac{L}{N^2} \sum_{k=1}^n \frac{l_k}{S_k}$$

kde μ_o ... magnetická konstanta ($H.m^{-1}$)
 L ... indukčnost měřicí cívky s jádrem (H)
 N ... počet závitů měřicí cívky
 l_k ... délka siločáry k-tého úseku jádra (m)
 S_k ... průřez k-tého úseku jádra (m^2)

Efektivní permeabilita není materiálovou konstantou, protože se vztahuje na určitý tvar jádra vyrobeného z daného materiálu obvykle se vzduchovou mezerou. Pro výpočet se u některých tvarů udává:

l_{ef} ... střední délka magnetické siločáry (mm)
 S_{ef} ... efektivní průřez (mm^2)
 V_{ef} ... efektivní objem (mm^3)

případně také C_1 - tvarová konstanta, jež byla vypočítána podle doporučení IEC - publikace č. 205.

1.3 Cívková permeabilita μ_{app}

je permeabilita materiálu jádra, stanovená z poměru indukčnosti měřicí cívky s jádrem a indukčnosti téže cívky bez jádra.

$$\mu_{app} = \frac{L}{L'}$$

kde L ... indukčnost cívky s jádrem (H)
 L' ... indukčnost téže cívky bez jádra (H)

Tato hodnota je pouze smluvní a závisí na tvaru jádra, na tvaru a poloze měřicí cívky apod. Používá se u otevřených magnetických obvodů, jako u tyčinek, trubiček, závitových jader, anténních tyčí atd.

1.4 Vratná permeabilita μ_{rev}

je mezní hodnota inkrementální permeability pro rozkmit střídavé složky intenzity magnetického pole, blíží se nule.

$$\mu_{rev} = \lim_{\Delta H \rightarrow 0} \mu \Delta$$

kde ΔH ... rozkmit střídavé složky intenzity magnetického pole ($A.m^{-1}$)
 $\mu \Delta$... inkrementální permeabilita

Inkrementální permeabilita je permeabilita pro střídavé magnetování za přítomnosti stejnosměrného předmagnetování

$$\mu \Delta = \frac{1}{\mu_o} \frac{\Delta B}{\Delta H}$$

kde $\mu \Delta$... inkrementální permeabilita
 μ_o ... magnetická konstanta ($H.m^{-1}$)
 ΔH ... rozkmit střídavé složky intenzity magnetického pole ($A.m^{-1}$)
 ΔB ... odpovídající rozkmit magnetické indukce (T)

1.5 Komplexní permeabilita

je poměr fázorů indukce a intenzity magnetického pole dělený činitelem μ_o

$$\bar{\mu} = \frac{1}{\mu_o} \frac{\bar{B}}{\bar{H}}$$

kde μ_o ... magnetická konstanta ($H.m^{-1}$)
 \bar{H} ... fázor intenzity pole ($A.m^{-1}$)
 \bar{B} ... fázor indukce (T)

Když vezmeme v úvahu cívku o N závitů na uzavřeném feromagnetickém jádru o délce siločáry l_{ef} a průřezu S_{ef} , impedance této cívky je daná magnetickými vlastnostmi jádra, (ztráty v mědi, vlastní kapacita atd. jsou zanedbatelné), pak platí

$$\beta = j\omega L_o \cdot \mu$$

L_o lze psát za předpokladu $\mu_i = 1$

$$L_o = \frac{4\pi N^2 \cdot 10^{-9}}{\sum \frac{l}{S}}$$

Má-li jádro zbytkové ztráty, pak je potřeba pohlížet na permeabilitu jako na vektorovou veličinu, jejíž reálná složka zvyšuje indukčnost a imaginární složka zvyšuje zbytkové ztráty jádra. Uvažujme nejdříve sériové náhradní cívky s jádrem:

$$= j\omega L_o (\mu' - j\mu'') = R_s + j\omega L_s$$

kde μ' , μ'' ... složky komplexní permeability pro sériové náhradní schéma cívky s jádrem

R_s ... sériový odpor zbytkových ztrát v jádře (Ω)

L_s ... sériová indukčnost (H)

Z uvedených rovnic lze určit:

$$L_s = L_o \mu'$$

$$R_s = \omega L_o \mu''$$

$$\text{vztah} \quad \frac{R_s}{\omega L_s} = \frac{\mu''}{\mu'} = \tan \delta$$

se nazývá ztrátový činitel.

1.6 Amplitudová permeabilita μ_a

je poměr amplitudy magnetické indukce a intenzity magnetického pole

$$\mu_a = \frac{1 B_a}{\mu_0 H_a}$$

kde μ_0 ... magnetická konstanta (H.m^{-1})

B_a ... amplituda magnetické indukce (T)

H_a ... amplituda intenzity magnetického pole (A.m^{-1})

Pojmu amplitudová permeabilita se užívá u jader, pracujících při vysokých hodnotách magnetické indukce.

2. MAGNETIZAČNÍ CHARAKTERISTIKY

2.1 Indukce v nasycení B_s

Indukce v nasycení je u všech druhů feritů nízká ve srovnání s příslušnými kovovými materiály a klesá se stoupající teplotou. Z toho důvodu se materiál nehodí pro výkonové použití na nízkých kmitočtech. Hodnoty B_s jsou uvedeny v tabulce materiálových vlastností.

2.2 Koercivita H_c

Je to intenzita magnetického pole nutná k potlačení remanence B_r na nulu. Hodnoty H_c jsou uvedeny v tabulce materiálových vlastností. Vysokopermeabilní Mn-ZN ferity mají $H_c < 100 \text{ A.m}^{-1}$, Ni-Zn ferity $50\text{--}1500 \text{ A.m}^{-1}$.

3. ZMĚNY V ZÁVISLOSTI NA TEPLOTĚ

3.1 Mezní pracovní teplota θ_c

je Curieova teplota, při které materiál přechází z feromagnetického stavu do paramagnetického. Protože tento přechod je náhlý, obtížně se určuje. Pro technickou praxi se mezní pracovní teplota definuje teplotou, při níž počáteční permeabilita klesne na 50 % hodnoty při 20 °C. Hodnoty θ_c jsou uvedeny v tabulce materiálů a jsou materiálovou konstantou.

3.2 Teplotní činitel počáteční permeability

je v daném teplotním intervalu podíl poměrné změny počáteční permeability a změny teploty, která její změnu způsobila.

$$TK_{\mu_i} = \frac{\Delta\mu_i}{\Delta T} \cdot \frac{1}{\mu_i}$$

kde $\Delta\mu_i$... změna počáteční permeability

ΔT ... změna teploty (K)

Teplotní rozsah se obvykle používá 20–60 °C.

Teplotní činitel při dané teplotě je mezní hodnota středního činitele pro velmi malou změnu teploty $\Delta T \rightarrow 0$.

$$TK_{\mu_i} = \lim_{T \rightarrow 0} \frac{\Delta\mu_i}{\Delta T} \cdot \frac{1}{\mu_i}$$

V praxi se používá také měrný teplotní činitel

$$TK_{\mu_s} = \frac{\Delta\mu}{\Delta T} \cdot \frac{1}{\mu^2}$$

kde TK_{μ_s} ... měrný teplotní činitel (K^{-1})

$\Delta\mu$... změna permeability

ΔT ... změna teploty (K)

μ ... permeabilita při výchozí teplotě

Hodnoty měrného teplotního činitele jsou uvedeny v materiálové tabulce.

4. ZTRÁTY V JÁDŘE

Celkové ztráty v jádře lze definovat jako výkon absorbovaný součásti a přeměněný na teplo při periodicky proměnné magnetické indukci. Ztráty při malých magnetických indukcích v Rayleighově oblasti lze rozdělovat na ztráty vířivými proudy, hysterezní a zbytkové.

Rayleighova oblast je definovaná jako oblast, v níž s dostatečnou přesností platí kvadratická závislost magnetické indukce na intenzitě magnetického pole podle vztahu

$$\frac{B}{\mu_0} = (\mu_i + \nu H_a) H \pm \frac{\nu}{2} (H_a^2 - H^2)$$

kde B ... okamžitá hodnota indukce (T)

μ_0 ... magnetická konstanta (H.m^{-1})

μ_i ... počáteční permeabilita

ν ... Rayleighův hysterezní činitel (A.m^{-1})

H_a ... amplituda intenzity magnetického pole (A.m^{-1})

H ... okamžitá hodnota intenzity magnetického pole (A.m^{-1})

4.1 Hysterezní ztráty

V souladu s publikací IEC 125 a 218 vyjadřují se hysterezní ztráty součinitelem hysterezních ztrát materiálu η_B , který je dán vztahem

$$\eta_B = \frac{\mu_0 \cdot N^2}{C_2 \cdot L^2} \frac{R_2 - R_1}{U_2 - U_1} \cdot 10^{-9}$$

kde η_B ... součinitel hysterezních ztrát (T^{-1})
 C_2 ... konstanta jádra
 R_1, R_2 ... sériové odpory ztrát v cívice odpovídající napětím U_1, U_2 (Ω)
 U_1, U_2 ... amplituda napětí v cívice jádra, odpovídající následujícím velikostem magnetické indukce $B_2 = 3\text{mT}$, $B_1 = 1\text{mT}$ (V)

4.2 Ztrátový úhel a měrný ztrátový činitel $\text{tg}\delta/\mu_i$

Ztrátový úhel δ je úhel fázového posunu mezi fázory B a \dot{H} .

Tangens ztrátového úhlu je podíl imaginární a reálné složky komplexní permeability, nebo podíl reálné a imaginární složky převrácené hodnoty komplexní permeability

$$\text{tg}\delta = \frac{\mu''}{\mu'} = \frac{\mu'_p}{\mu''_p} = \frac{R_s}{\omega L_s} = \frac{\omega L_p}{R_p}$$

kde μ' ... reálná složka komplexní permeability
 μ'' ... imaginární složka komplexní permeability
 R_s ... ztrátový odpor cívky pro sériové náhradní zapojení (Ω)
 ωL_p ... indukční reaktance cívky pro paralelní náhradní zapojení (Ω)
 R_p ... ztrátový odpor cívky pro paralelní náhradní zapojení (Ω)
 ωL_s ... indukční reaktance cívky pro sériové náhradní zapojení (Ω)

Pro hodnoty nižší než 0,1 lze $\text{tg}\delta$ dělit na složky odpovídající ztrátám hysterezním, vířivými proudy a zbytkovým

$$\text{tg}\delta \approx \text{tg}\delta_h + \text{tg}\delta_a + \text{tg}\delta_t$$

Často se také používá činitel jakosti Q , jež je převrácenou hodnotou tangenty ztrátového úhlu.

$$Q = \frac{1}{\text{tg}\delta}$$

Kromě výše uvedených se používá také měrný ztrátový úhel, jenž je materiálovou konstantou. Je to poměr ztrátového úhlu k počáteční permeabilitě. Pro obvody se vzduchovou mezerou se používá měrný ztrátový úhel, který je poměrem ztrátového úhlu k efektivní permeabilitě. Hodnoty měrných ztrátových činitelů jsou v materiálové tabulce.

4.3 Optimální frekvenční oblast

Průběhy závislosti $\text{tg}\delta/\mu$ nám dávají dobrý obraz o možné frekvenční oblasti použití feritových materiálů „FONOX“ pro cívky, kde je potřebný vysoký činitel jakosti. Při použití materiálů pro širokopásmové transformátory můžeme použít průběhu složek komplexní permeability μ' a μ'' .

4.4 Horní mezní kmitočet f_{\max}

Jako horní mezní kmitočet můžeme považovat ten, při kterém činitel jakosti změřený na toroidním jádru je roven asi 50, tj. tg cca 0,02. Pro jádra se vzduchovou mezerou je hraniční kmitočet vyšší.

4.5 Dolní kmitočet f_{\min}

je kmitočet, při kterém je výhodnější přejít na feritový materiál s nejbližší vyšší permeabilitou, čímž se dosáhne dalšího snížení ztrát.

4.6 Celkové ztráty P při vysoké indukci

Jsou důležité při navrhování výkonových transformátorů. Udávají se buď v mW/g nebo mW/cm^3 .

5. REZISTIVITA ρ

V tabulce materiálů jsou uvedeny hodnoty rezistivity materiálu „FONOX“. Platí pro teplotu 20°C a proudovou hustotu 1mA/cm^2 . Kontaktování je provedeno speciální grafitovou emulsi nebo rtuťovými kontakty.

6. SOUČINITEL INDUKČNOSTI A_L

je indukčnost, kterou by měla cívka o jednom závitu daného tvaru a rozměrů, umístěná v jádru v dané poloze.

$$A_L = \frac{L}{N^2}$$

kde A_L ... součinitel indukčnosti (H)
 L ... indukčnost cívky (H)
 N ... počet závitů

Pro praktické účely se používá jednotky nH nebo μH . Často se také používá činitel závitů α . Je to počet závitů, který by cívka daného rozměru a tvaru, umístěná na jádru v dané poloze musela mít, aby se dosáhlo jednotkové indukčnosti.

$$\alpha = \frac{N}{\sqrt{L}}$$

Součinitel indukčnosti musí být měřen za podmínek, že měřicí proud je určen tak, aby $B < 0,5\text{mT}$.

7. SOUČINITEL ODPORU A_L

Součinitel odporu A_R nebo zkráceně A_R - konstanta je analogií A_L - konstanty, tj. stejnosměrný odpor R_{ss} jednoho závitu v Ω

$$A_R = \frac{R_{ss}}{N^2}$$

Z údajů vinutí lze A_R konstantu vypočítat ze vztahu

$$A_R = \frac{\rho l_z}{f_k \cdot A_z}$$

kde ρ ... měrný odpor materiálu vinutí pro měď
1,72 $\mu\Omega\text{cm}$

l_z ... střední délka závitu (cm)

A_z ... plocha jednoho závitu (cm^2)

f_k ... činitel plnění mědi

V případě, že použijeme výše uvedených jednotek je rozměr A_R v $\mu\Omega$. Hodnoty činitele plnění mědi jsou udávány v údajích cívkových tělísek obvykle při $f_k = 0,5$.

8. ČASOVÁ KONSTANTA τ

je definována jako poměr indukčnosti L (H) a ztrátového odporu R_z (Ω).

$$\tau = \frac{L}{R_z}$$

Pro nízké kmitočty může být ztrátový odpor nahrazen stejnosměrným odporem R_{ss} . Stejnosměrná časová konstanta je pak

$$\tau_{ss} = \frac{L}{R_{ss}}$$

Za použití výrazu z kapitoly 6. a 7. můžeme psát

$$\tau_{ss} = \frac{A_L}{A_R}$$

9. ČASOVÁ NESTABILITA PERMEABILITY

Časová nestabilita permeability se nazývá desakomodace D . Je to poměrná změna počáteční permeability vznikající za určitou dobu po úplném odmagnetování bez dalšího působení mechanických, magnetických, teplotních a jiných změn při stanovené teplotě

$$D = \frac{\mu_{i1} - \mu_{i2}}{\mu_{i1}} \cdot 100$$

kde D ... desakomodace ($\%$)

μ_{i1} ... počáteční permeabilita měřená v dané (krátké) době t_1 po úplném odmagnetování

μ_{i2} ... počáteční permeabilita měřená v dané (delší) době t_2 při úplném odmagnetování

Činitel desakomodace d je dán výrazem

$$d = \frac{\mu_{i1} - \mu_{i2}}{\mu_{i1} \log \frac{t_2}{t_1}}$$

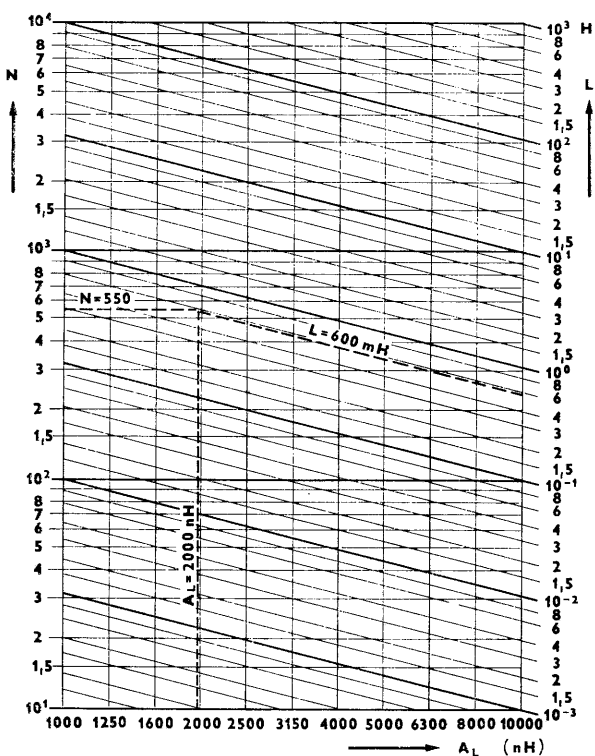
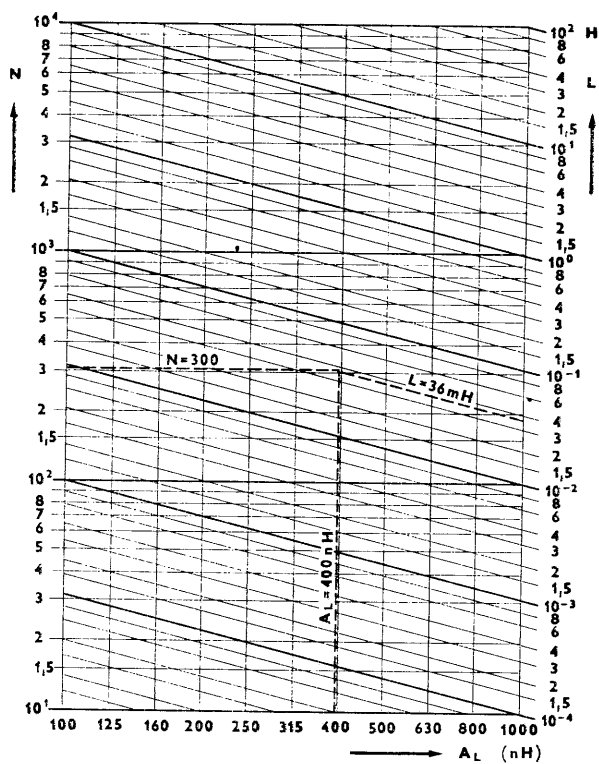
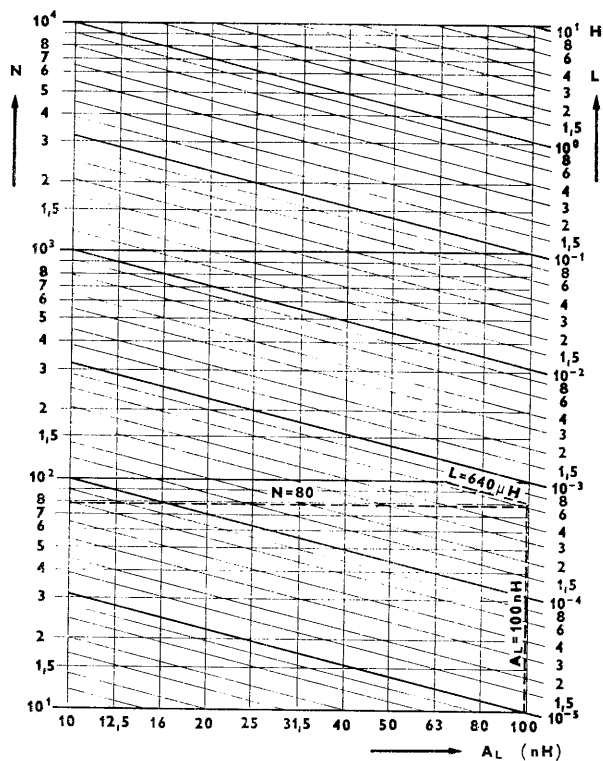
V praxi se používá $t_1 = 10$ min., $t_2 = 100$ min., pak

$$\log \frac{t_2}{t_1} = 1$$

Někdy se také používá měrný činitel desakomodace DF . Je určen vztahem

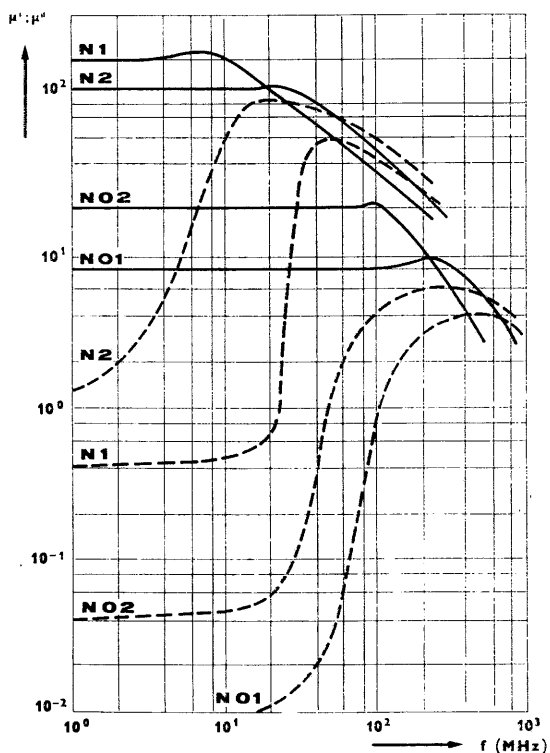
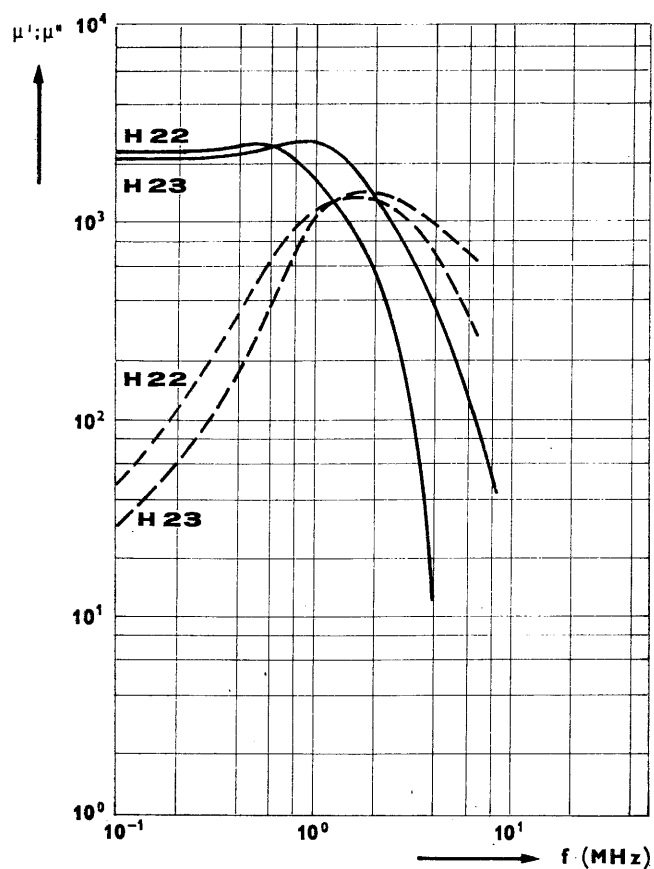
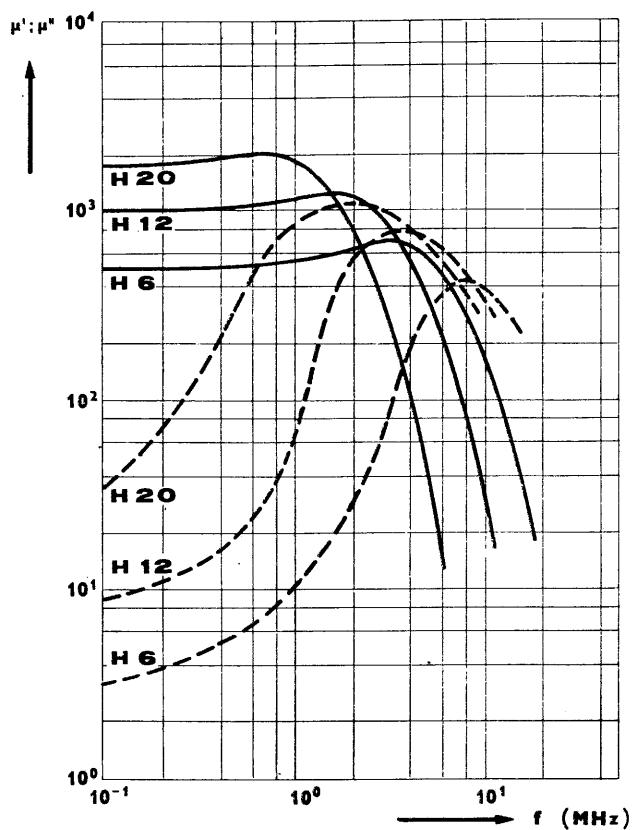
$$DF = \frac{d}{\mu_i}$$

DIAGRAMY STANOVENÍ INDUKČNOSTI A POČTU ZÁVITŮ PRO A_L - KONSTANTY
10—100 nH, 100—1 000 nH a 1 000—10 000 nH.



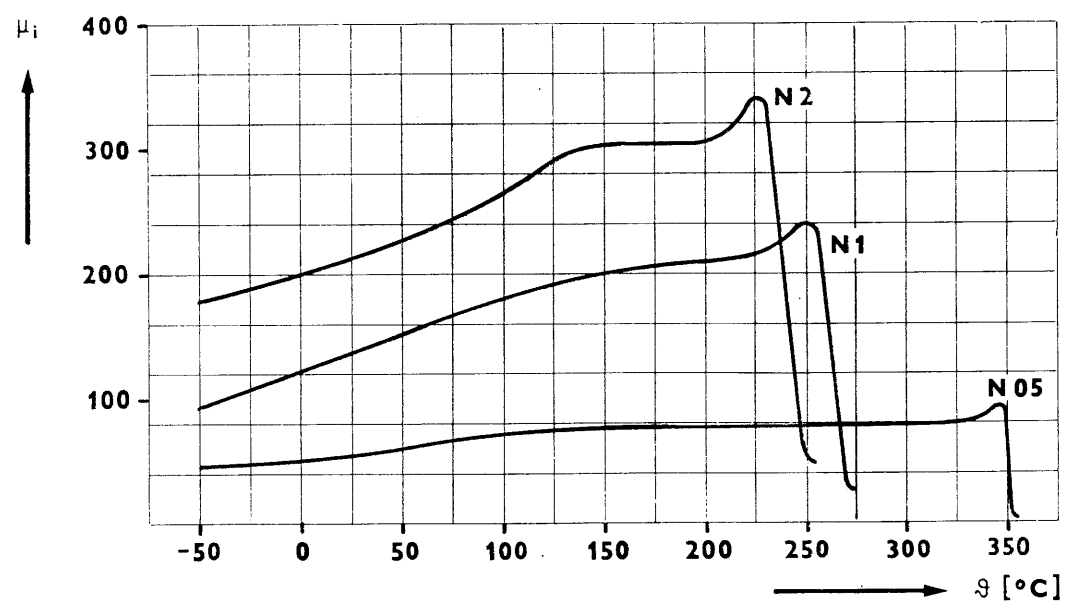
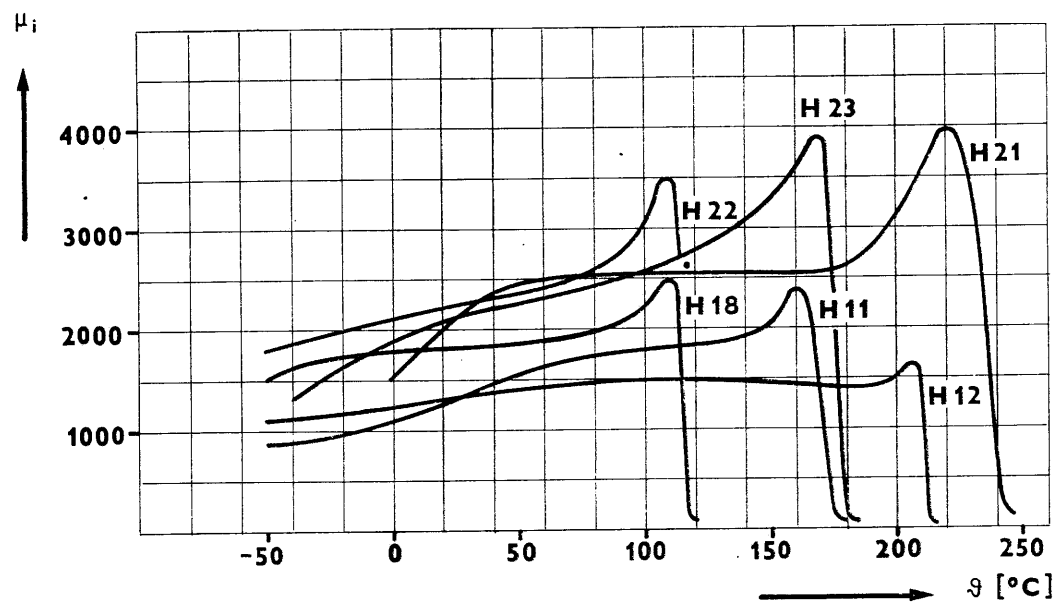
FONOX

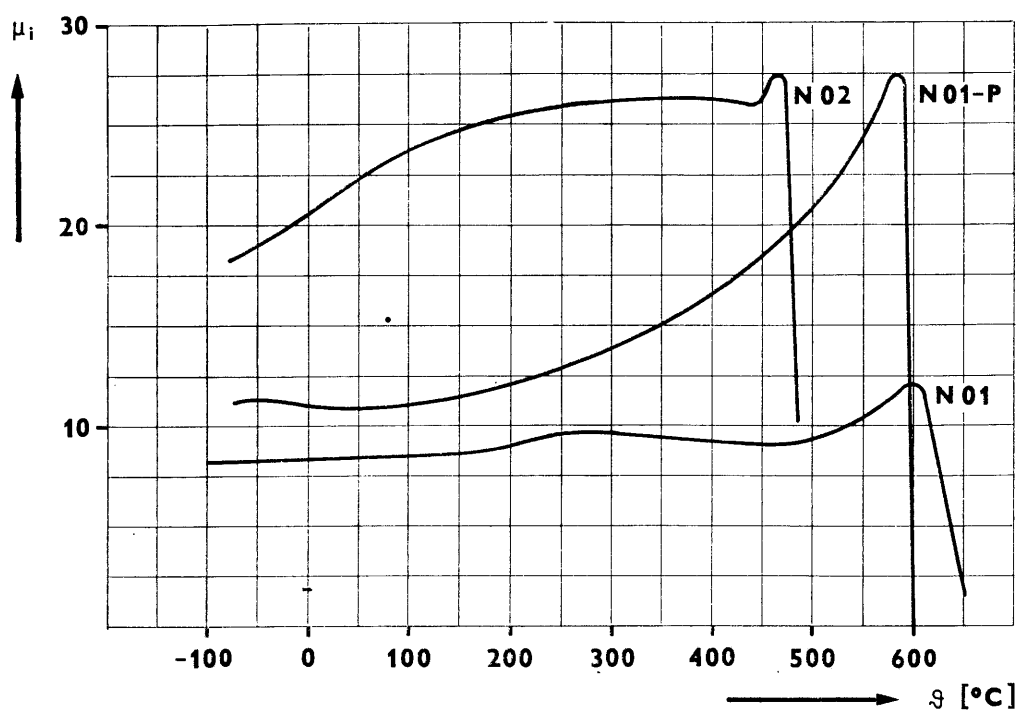
DIAGRAMY ZÁVISLOSTI SLOŽEK KOMPLEXNÍ PERMEABILITY NA KMITOČTU.



μ' ———
 μ'' - - -

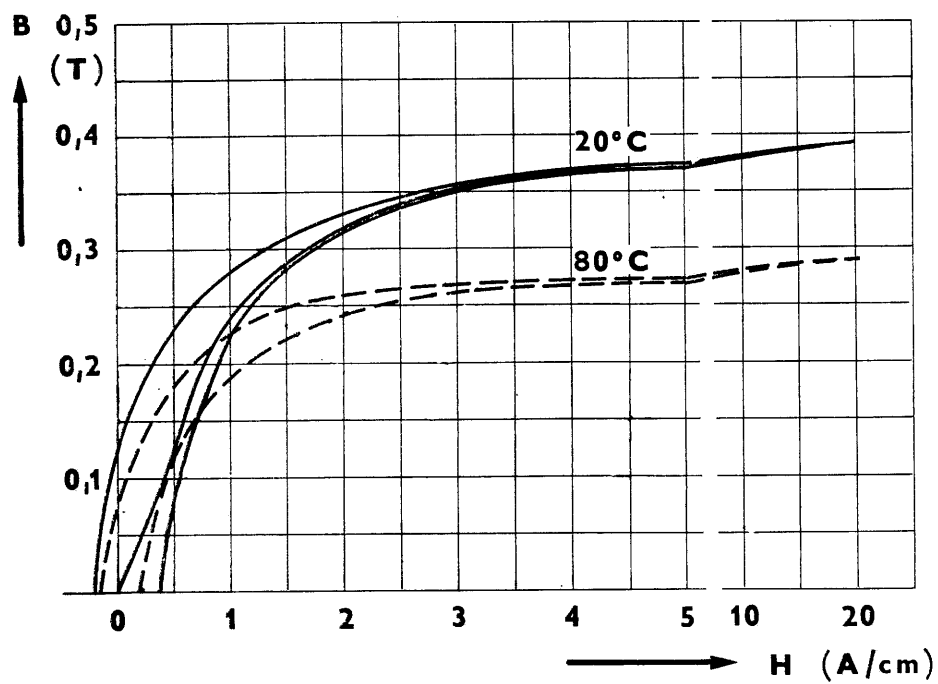
ZÁVISLOSTI POČÁTEČNÍ PERMEABILITY NA TEPLOTĚ



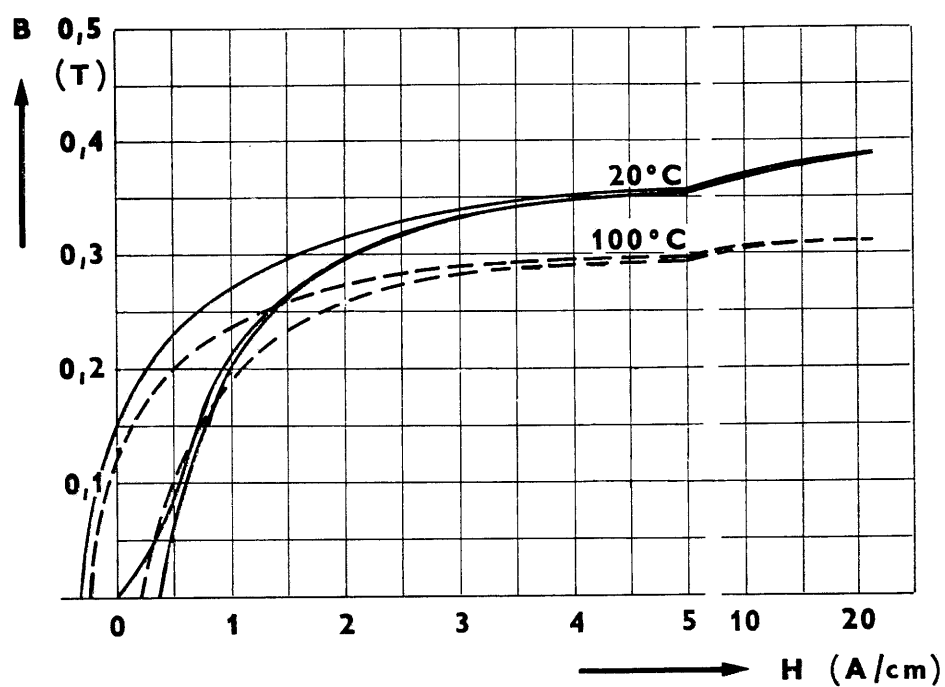


HYSTEREZNÍ KŘIVKY

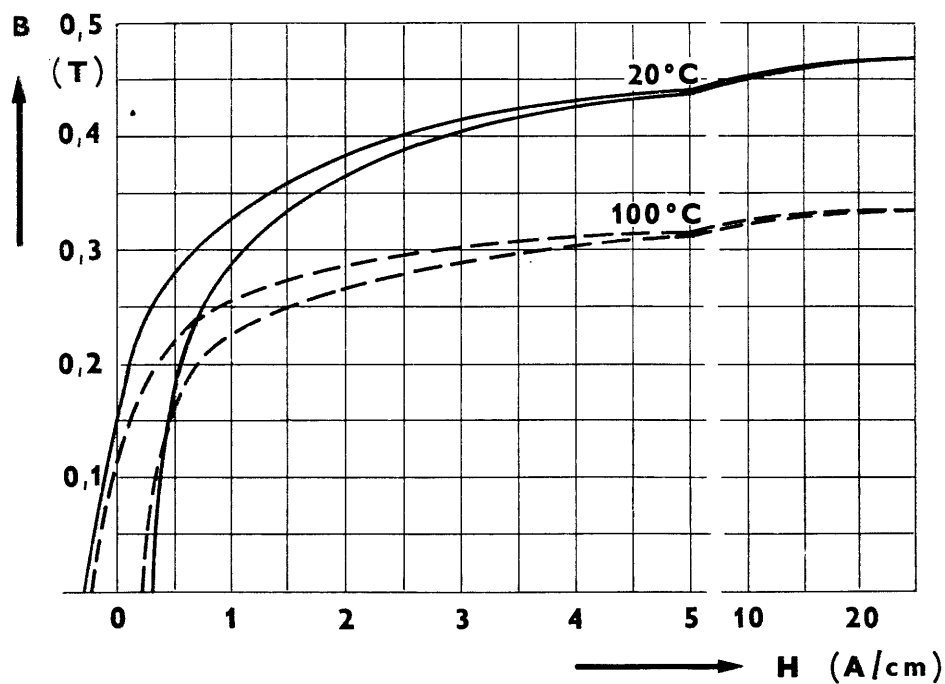
H 10



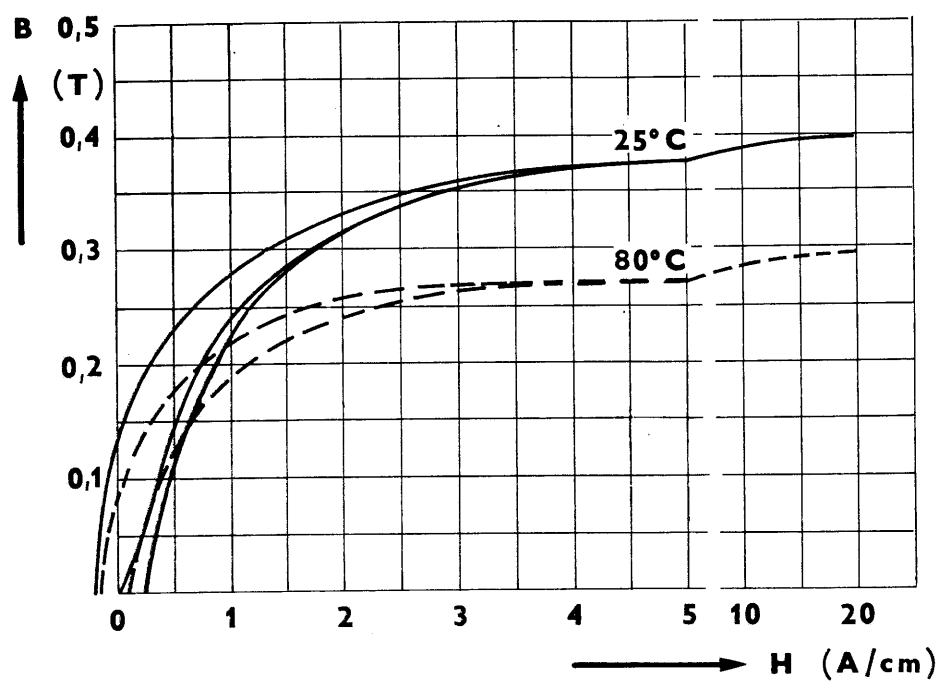
H 11



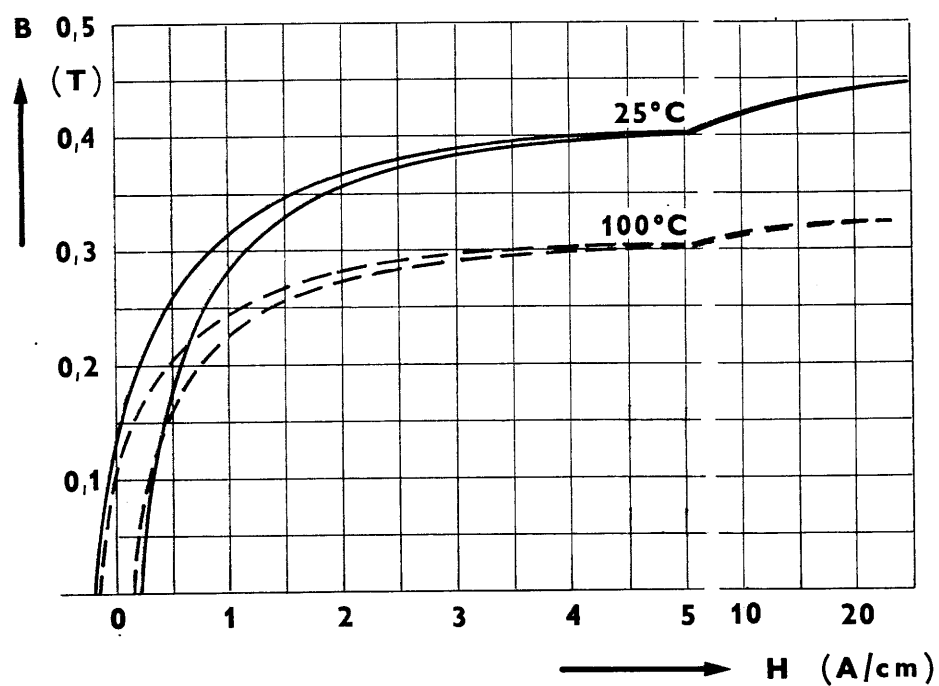
H 12



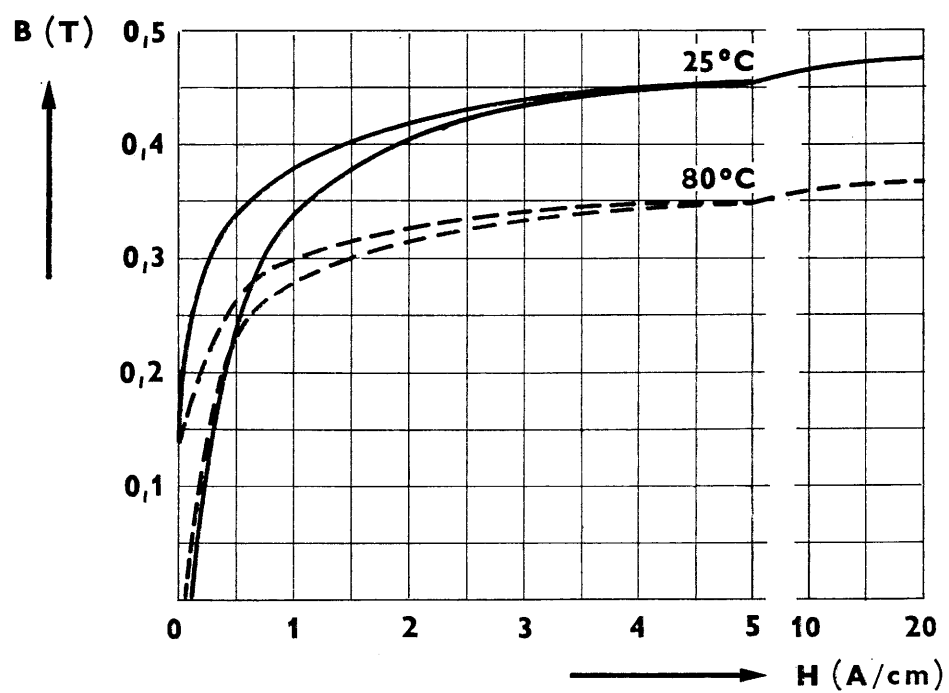
H 18



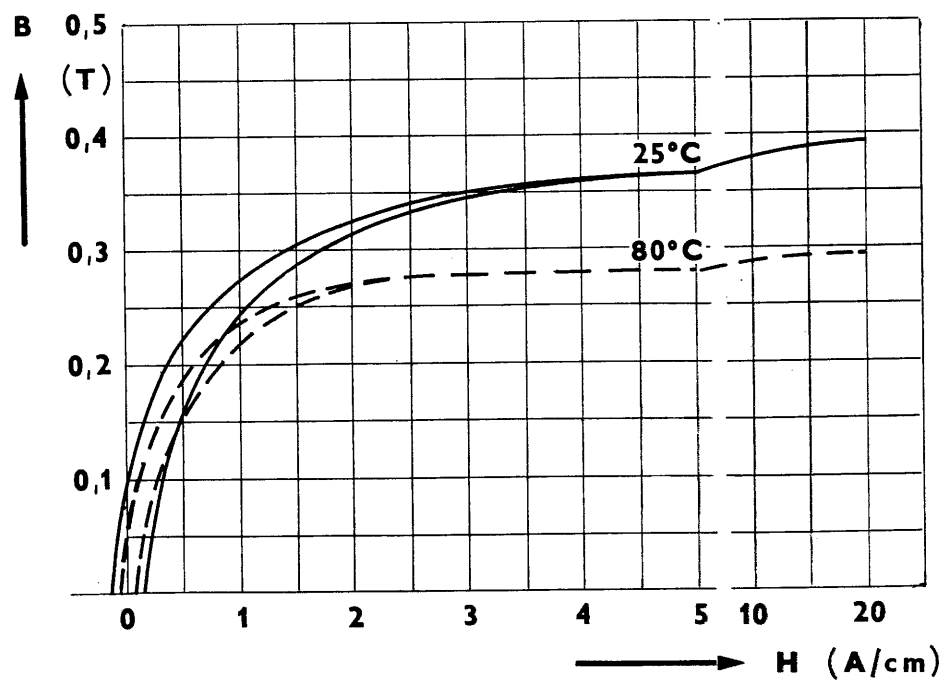
H 20



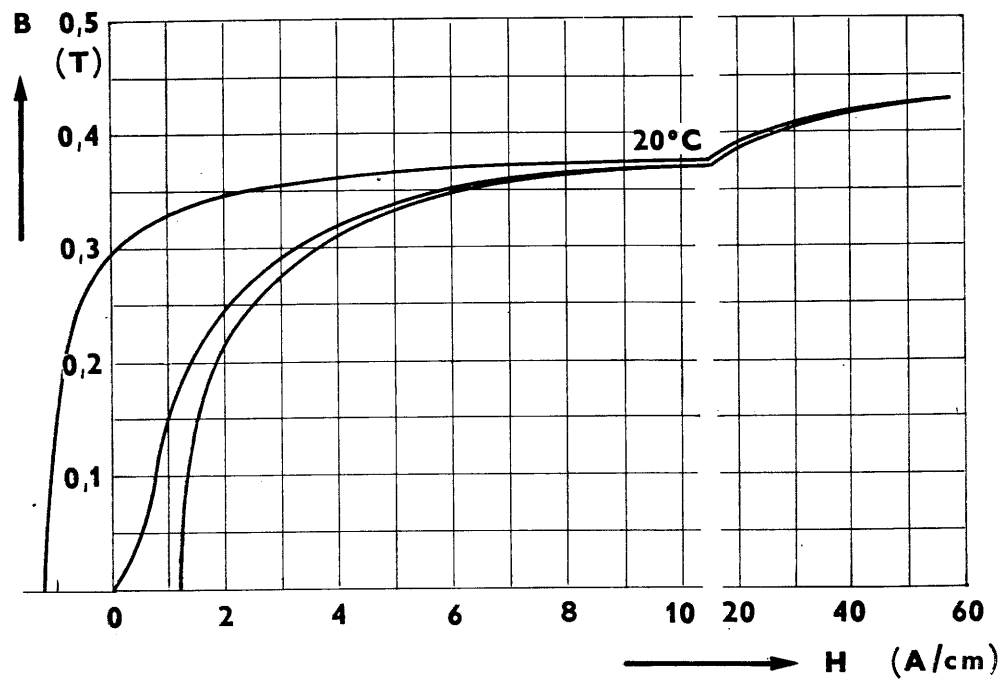
H 21



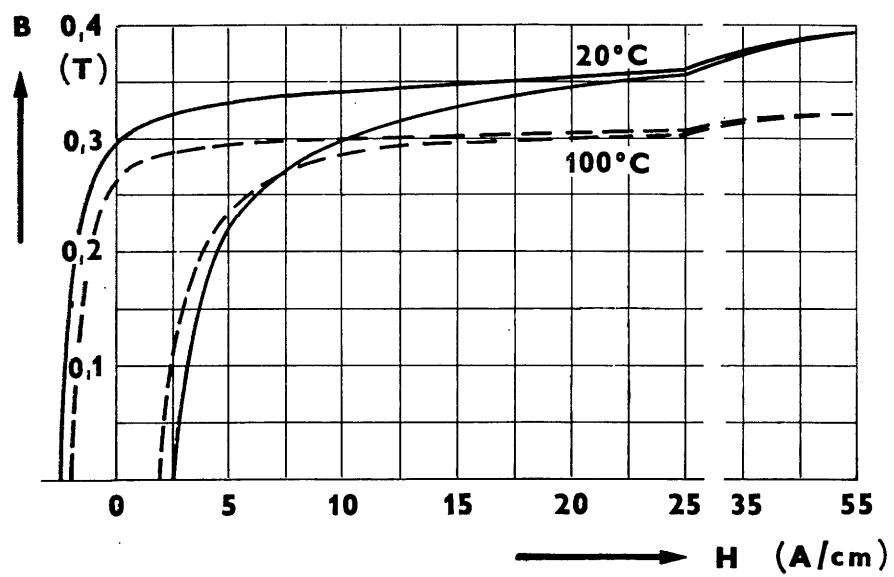
H 22



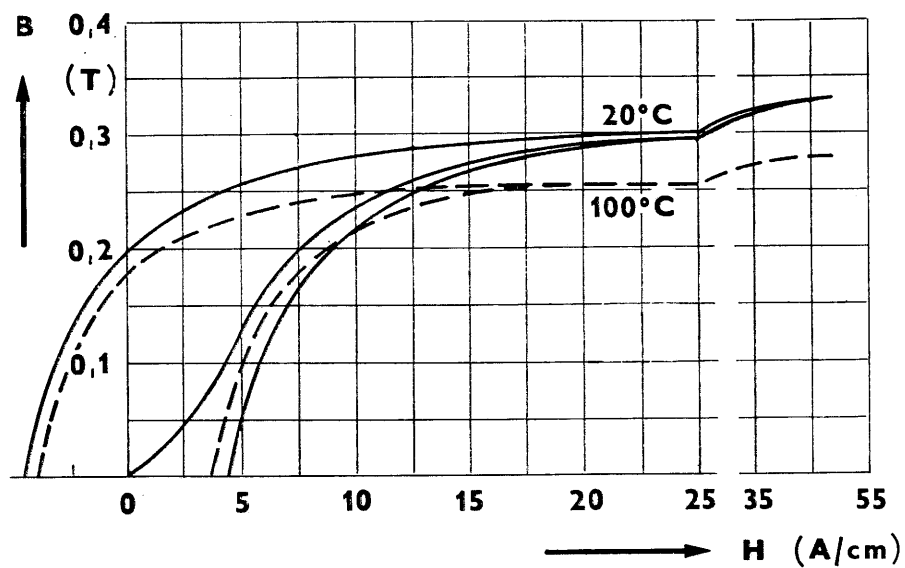
N 2



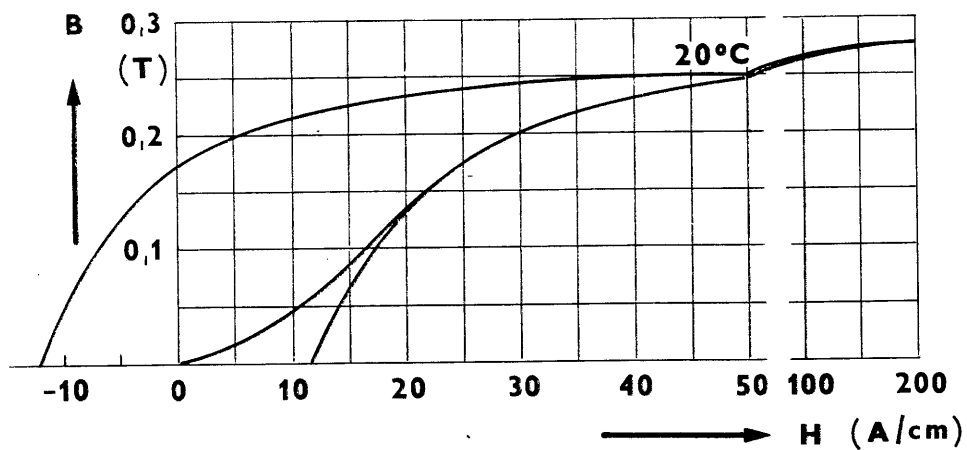
N 1

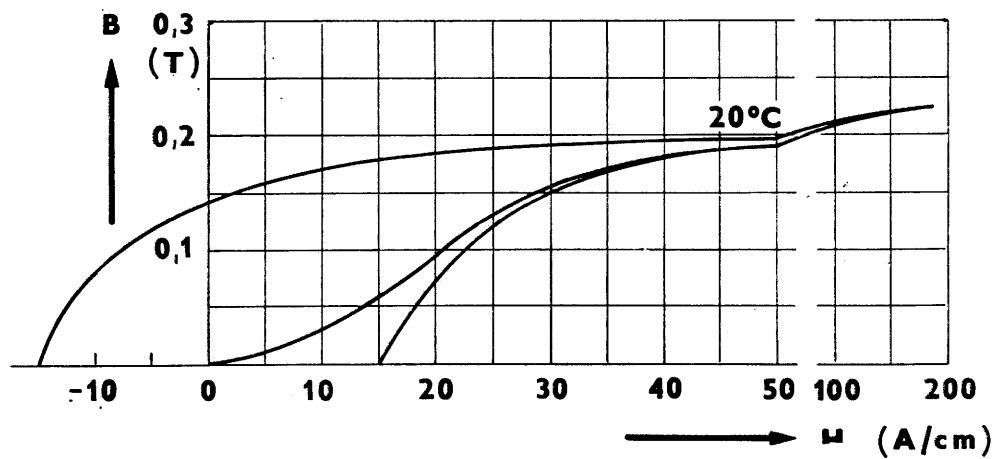


N 05

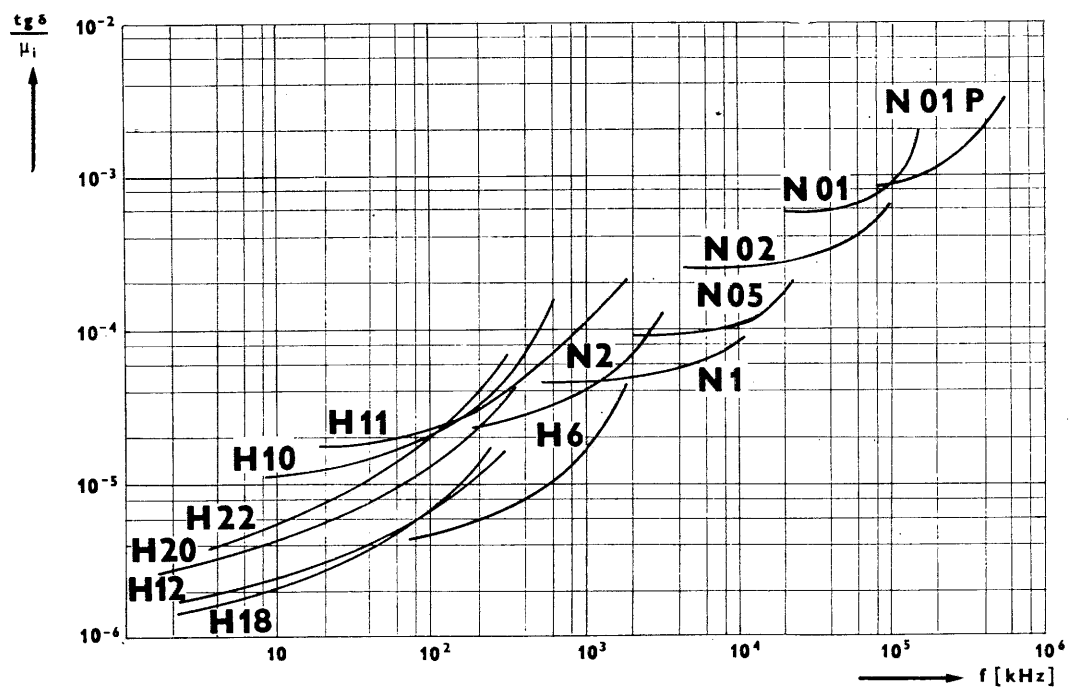


N 02

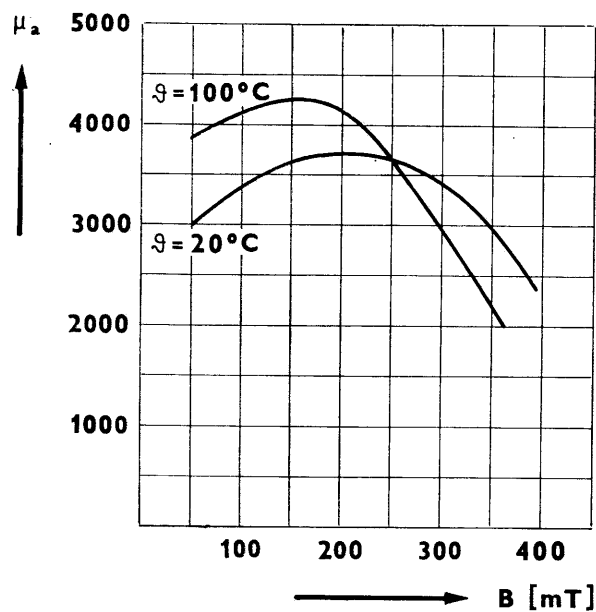
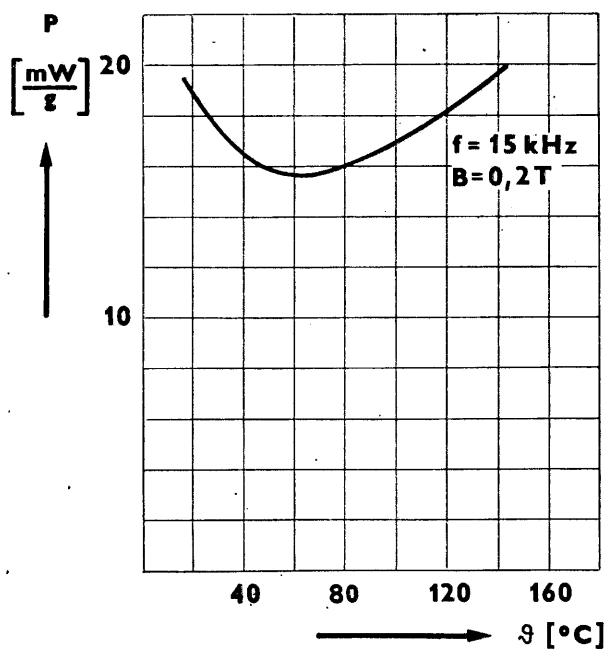
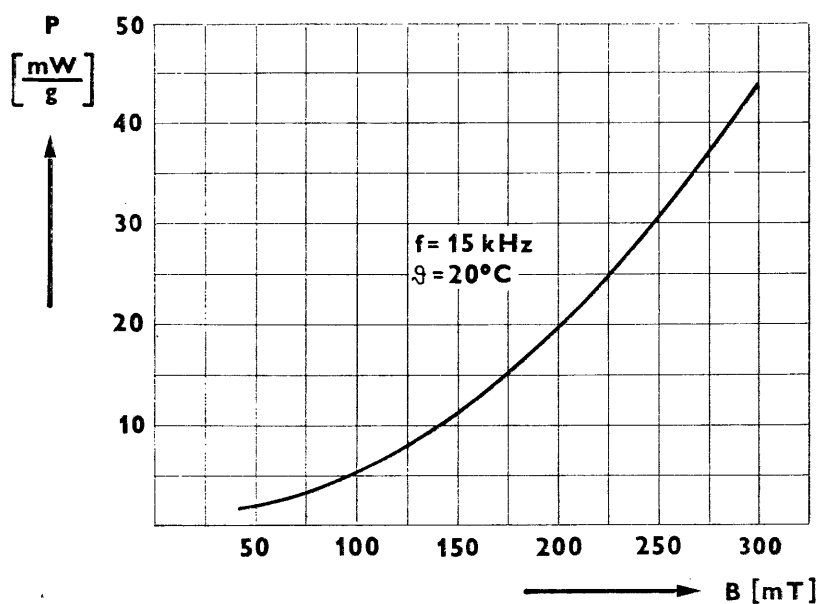




ZÁVISLOSTI MĚRNÉHO ZTRÁTOVÉHO ČINITELE NA KMITOČTU



**ZÁVISLOSTI ZTRÁT NA INDUKCI A TEPLOTĚ A AMPLITUDOVÉ PERMEABILITY NA INDUKCI
PRO MATERIÁL H 21.**



TABULKA MATERIÁLŮ „FONOX“

| Materiál FONOX | | | N 01 | N 01 P | N 02 | N 05 | N 08 P | N 1 | N 2 |
|--|---|---------------------------------|------------------------------|---------------------|------------------------------|-------------------|--------------------|---|-------------------|
| Počáteční permeabilita | μ_i | — | ± 8 20 % | ± 11 20 % | ± 20 20 % | ± 50 20 % | ± 80 20 % | ± 120 20 % | ± 200 20 % |
| Měrný ztrátový činitel při | $\operatorname{tg} \sigma / \mu_i$ f | 10^{-8} MHz | < 1 000 100 | < 1 250 200 | < 400 50 | < 200 20 | < 150 12 | < 150 10 | < 80 1 |
| Součinitel hysterézních ztrát materiálu | ηB f | 10^{-6}mT^{-1} kHz | | | | | < 36 20 | | |
| Měrný teplotní činitel v rozsahu teplot 20÷60 °C | $TK\mu_s$ | 10^{-8}K^{-1} | < 260 | 0÷80 | < 180 | < 100 | 1÷6 | < 50 | < 40 |
| Indukce při | $\frac{B}{H}$ | $\frac{T}{\text{A m}^{-1}}$ | 0,2 10 000 | | 0,27 8 000 | 0,3 5 000 | | 0,35 5 000 | 0,4 5 000 |
| Koercitivita | H_c | A m^{-1} | 1 500 | 1 500 ¹⁾ | 1 200 | 450 | 120 ¹⁾ | 250 | 120 |
| Curieův bod | θ_C | °C | > 550 | > 500 | > 450 | > 350 | > 350 | > 260 | > 200 |
| Rezistivita | ρ | Ωm | 10^5 | 10^4 | 10^3 | 10^2 | 10^4 | 10^2 | 10^2 |
| Hustota | γ | kg m^{-3} | 4 400 | 4 300 | 4 300 | 4 600 | 4 300 | 4 700 | 4 700 |
| Rozměry měrného toroidu | $\varnothing d_1 \times \varnothing d_2 \times h$ | mm | 30×20×4 | 30×20×4 | 30×20×4 | 30×20×4 | 30×20×4 | 30×20×4 | 30×20×4 |
| Vyráběné tvary | | | závitová jádra toroidy | závitová jádra | závitová jádra toroidy | závitová jádra | hrníčková jádra | tyčinky, závitová jádra, toroidy, jádra pro MF | antény |

1) Rozumí se otevírací intenzita magnetického pole
2) Další parametry jsou zaručovány na tvarech
3) Zaručuje se také desakomodace DF < 5.10⁻⁸ při ϑ = 20 °C

| H 3 R | H 6 | H 7 | H 10 | H 11 | H 12 | H 18 | H 20 | H 21 ²⁾ | H 22 | H 23 ³⁾ |
|---------------------------|--------------------------------|------------------------------|-------------------------------|---|--|----------------------|--------------------------------|----------------------------------|--|---------------------------------|
| ± 350 25 % | ± 600 20 % | ± 650 20 % | $\pm 1\,300$ 20 % | $\pm 1\,100$ 20 % | $\pm 1\,200$ + 30 % − 20 % | $\pm 1\,800$ 20 % | $\pm 2\,000$ 20 % | $\pm 1\,900$ 20 % | $\pm 2\,200$ 25 % | $\pm 2\,200$ 20 % |
| | < 30 1 | < 45 1 | < 20 0,1 | < 20 0,1 | < 10 0,1 | < 15 0,1 | < 22 0,1 | | < 8 0,02 | < 8 0,1 |
| | < 1,8 20 | < 1,8 20 | < 4,9 20 | | < 1,5 20 | | | | < 3,7 4 | < 0,9 20 |
| | 0,5÷3,5 | | < 4 | < 6 | 0÷3 | < 2,5 | < 4,5 | | < 2 | 0,6÷1,8 |
| | 0,39 1 000 | 0,43 1 000 | 0,36 1 000 | 0,36 1 000 | 0,42 1 000 | 0,36 1 000 | 0,4 1 000 | 0,47 1 000 | 0,36 1 000 | 0,42 1 000 |
| | 90 | 70 | 30 | 30 | 30 | 20 | 20 | 20 | 20 | 20 |
| > 150 | > 220 | > 200 | > 90 | > 160 | > 160 | > 90 | > 140 | > 200 | > 90 | > 150 |
| 10^5 | 1 | 1 | 1 | 1 | 1 | 1 | 1 | 1 | 1 | 1 |
| 4 400 | 4 400 | 4 400 | 4 800 | 4 800 | 4 800 | 4 800 | 4 800 | 4 800 | 4 800 | 4 700 |
| 46×24×12 | 30×20×4 | 30×20×4 | 46×24×12 | 46×24×12 | 30×20×4 | 30×20×4 | 30×20×4 | 46×24×12 | 30×20×4 | 30×20×4 |
| vychylo- vací jádra | hrníčková jádra, toroidy | závitová jádra, antény | závitová jádra, E-jádra | vychylovací jádra, tyčinky, trubičky | hrníčková jádra, X-jádra, RM-jádra, | dolaďovací jádra, | U-jádra E-jádra, toroidy | U-jádra, EC-jádra, E-jádra | hrníčková jádra, E-jádra, X-jádra | hrníčková jádra, RM-jádra |

2 DOPORUČENÉ POUŽITÍ MAGNETICKY MĚKKÝCH FERITŮ

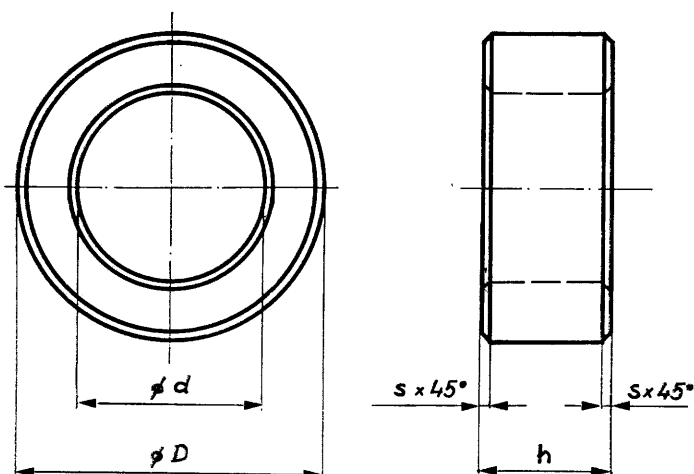
| Použití pro | Kmitočtový rozsah (MHz) | Indukce | | Feritový materiál | Tvar |
|--|--|----------------------------|------------------|---|--|
| | | malá (cca do 0,01 T) | velká | | |
| Cívky vysoké kvality s uzavřeným magnetickým obvodem pro filtry a laděné obvody | do 0,1 do 0,3 0,2—1,6 | ● ● ● | | H22, H23 H12 H6 | hrníčková jádra, RM jádra se vzduchovou mezerou |
| Cívky vysoké kvality pro filtry a ladící obvody s polouzavřeným magnet. obvodem | do 0,6 0,2—2 1,5—5 | ● ● ● | | H12 H7, N2 N1 | zvonková jádra, rámečková jádra, závitová jádra |
| Cívky vysoké kvality pro filtry a ladící obvody s otevřeným magnetickým obvodem | 0,2—2 1,5—10 6—30 10—60 30—100 30—250 | ● ● ● ● ● ● | | N2, H7 N1 N05 N02 N01 N01P | tyčinky, antény, závitová jádra, trubičky |
| Transformátory se speciálními požadavky | do 0,3 | ● | | H10 H22 H23 | E-jádra X-jádra RM-jádra, hrníčk. jádra |
| Širokopásmové transformátory | do 5 do 10 do 400 do 1 000 | ● ● ● ● | | H22 H12, H6 N1 N01 | E-jádra, hrníčk. jádra hrníčková jádra toroidy, dvouotvor. jádra dvouotvorová jádra |
| Transformátory pro vysoké výkony (např. střídače, řádkovací trafo, impulzní trafo apod.) | do 0,1 (impulzní provoz do 1) | | ● ● ● ● | H12 H20 H11 H21 | hrníčková jádra U-jádra, E-jádra U, I-jádra U, EC-jádra, E-jádra |
| Tlumivky | do 500 | | ● | N1, H20 | tyčinky, toroidy |
| Jádra pro mazací hlavy | 0,2 | | ● | H18 | C-jádra |

KATALOGOVÁ ČÁST

Fonox

Toroidy

Používají se jako jádra indukčností, impulsních a širokopásmových transformátorů, tlumivek atd. Hrany výrobků jsou sraženy. Toroidy do $\varnothing 10$ mm mohou mít hrany zaobleny.



| TYP | $\varnothing D$ mm | $\varnothing d$ mm | h mm | s mm | C_1 mm ⁻¹ | l_{ef} mm | S_{ef} mm ² | V_{ef} mm ³ | hmotnost g ~ |
|-------|-----------------------|-----------------------|----------|---------|---------------------------|----------------|-----------------------------|-----------------------------|-----------------|
| T 2,5 | 2,5±0,15 | 1,5±0,15 | 1±0,15 | — | 12,3 | 6,02 | 0,49 | 2,94 | 0,015 |
| T 4 | 4±0,15 | 2,4±0,15 | 1,6±0,10 | 0,15 | 7,69 | 9,63 | 1,25 | 12,1 | 0,07 |
| T 6,3 | 6,3±0,2 | 3,8±0,15 | 2,5±0,12 | 0,2 | 4,97 | 15,2 | 3,06 | 46,5 | 0,3 |
| T 10 | 10±0,3 | 6±0,2 | 4±0,15 | 0,3 | 3,08 | 24,1 | 7,83 | 188 | 1 |
| T 16 | 16±0,5 | 10±0,3 | 6,3±0,2 | 0,4 | 2,12 | 39,4 | 18,6 | 731 | 3,8 |
| T 25 | 25±0,75 | 15±0,45 | 10±0,3 | 0,5 | 1,23 | 60,2 | 48,9 | 2 945 | 15 |
| T 32 | 32±1 | 20±0,6 | 13±0,4 | 0,5 | 1,03 | 78,7 | 76,6 | 6 029 | 30 |
| T 40 | 40±1,2 | 24±0,7 | 16±0,45 | 0,5 | 0,769 | 96,3 | 125 | 12 051 | 60 |
| T 50 | 50±1,5 | 30±0,9 | 20±0,6 | 0,5 | 0,615 | 120 | 196 | 23 592 | 120 |

Vyráběné typy:

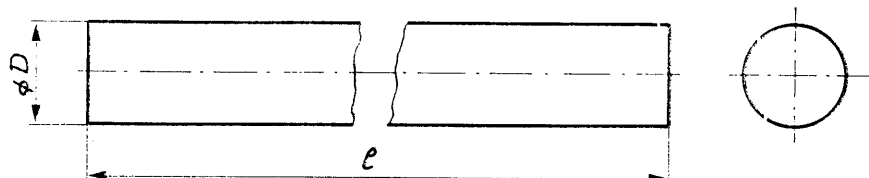
| Typ | Materiál | $A_L \pm 25\%$ (nH) | Objednací číslo JK |
|-------|----------|------------------------|-----------------------------|
| T 2,5 | H20 | > 150 | 205516 200002 |
| T 4 | N01 | 1,4 | 205531 200003 ¹⁾ |
| | N02 | 3,5 | 205532 200003 ¹⁾ |
| | N1 | 19 | 205534 200003 |
| | H6 | 92 | 205511 200003 |
| | H20 | 306 | 205516 200003 |
| T 6,3 | N01 | 2 | 205531 200004 ²⁾ |
| | N02 | 5 | 205532 200004 ²⁾ |
| | N1 | 30 | 205534 200004 |
| | H6 | 150 | 205511 200004 |
| | H12 | 300 | 205513 200004 |
| | H20 | 500 | 205516 200004 |

| Typ | Materiál | $A_L \pm 25\%$ (nH) | Objednací číslo JK |
|------|----------|------------------------|--------------------|
| T 10 | N1 | 48 | 205534 200005 |
| | H6 | 245 | 205511 200005 |
| | H20 | 820 | 205516 200005 |
| T 16 | N1 | 70 | 205534 200103* |
| | H20 | 1 200 | 205516 200103 |
| T 25 | N1 | 120 | 205534 200203* |
| | H20 | 2 040 | 205516 200203 |
| T 32 | H20 | 2 440 | 205516 200300* |
| T 40 | N1 | 200 | 205534 200301 |
| | H20 | 3 300 | 205516 200301 |
| T 50 | H20 | 4 100 | 205516 200303 |

¹⁾ Z technických důvodů se vyrábí $\varnothing 4,5 / \varnothing 2,6$ se změnou objednáčného čísla na 7.—12. místě JK 300010*

²⁾ Z technických důvodů se vyrábí $\varnothing 6,8 / \varnothing 4,1$ se změnou objednáčného čísla na 7.—12. místě JK 300011*

Feritové antény



Používají se jako jádra anténních obvodů rozhlasových přijímačů v pásmu středních a dlouhých vln. Vyznačují se nízkými ztrátami a mají směrové vlastnosti.

Zaručuje se činitel jakosti Q při $f = 1\text{MHz}$ a cívková permeabilita v dané měrné cívice.

Prohnutí antény musí být menší než $1,5\text{‰}$ délky.

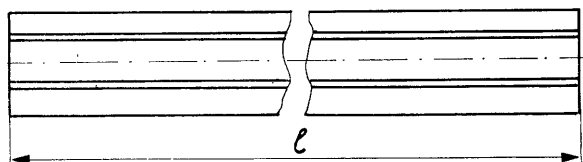
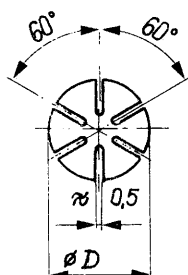
Antény se vyrábějí z materiálu N2.

Vyráběné typy:

| $\varnothing D$ (mm) | l (mm) | hmotn. (g) | Objednací číslo JK |
|---|---------------|------------|--------------------|
| $8 \begin{smallmatrix} +0,3 \\ -0,4 \end{smallmatrix}$ | 50—2,0 | 10,5 | 205535 301007 |
| | 55—2,0 | 11,5 | 205535 301000 |
| | $100 \pm 3,0$ | 21 | 205535 301001 |
| | $120 \pm 3,0$ | 25 | 205535 301002 |
| | $140 \pm 4,0$ | 29,5 | 205535 301003 |
| $10 \begin{smallmatrix} +0,1 \\ -0,6 \end{smallmatrix}$ | $160 \pm 7,0$ | 34 | 205535 301004 |
| | $120 \pm 3,0$ | 37 | 205535 301008 |
| | $140 \pm 4,0$ | 44 | 205535 301005 |
| | $160 \pm 5,0$ | 50 | 205535 301006 |

Fonox

Feritové antény drážkované



Používají se jako jádra anténních rozhlasových přijímačů v pásmu středních a dlouhých vln. Vyznačují se směrovými vlastnostmi. Podélné drážky zvětšují povrch tyče a tím také povrchový odpor, což má za následek zvýšení činitele jakosti. Zaručuje se cívková permeabilita a Q při $f = 1\text{MHz}$.

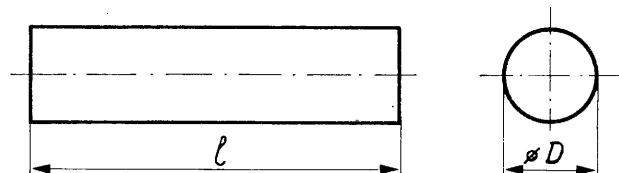
Antény se vyrábějí z materiálu H 7.

Vyráběné typy:

| Ø D (mm) | l (mm) | Hmotn. (g) | Objednací číslo JK |
|----------|---------|------------|--------------------|
| 8—0,5 | 60±1,5 | 12 | 205525 301104 |
| | 80±2 | 16 | 205525 301105 |
| | 100±3 | 20 | 205525 301106 |
| | 125±3,5 | 25 | 205525 301107 |
| | 140±4 | 28 | 205525 301108 |
| | 160±4,5 | 32 | 205525 301109 |
| | 180±5 | 36 | 205525 301110 |
| | 200±6 | 40 | 205525 301111 |
| 10—0,6 | 80±2 | 24 | 205525 301112 |
| | 100±3 | 30 | 205525 310113 |
| | 125±3,5 | 38 | 205525 301114 |
| | 140±4 | 42 | 205525 301115 |
| | 160±4,5 | 48 | 205525 301116 |
| | 180±5 | 54 | 205525 301118 |
| | 200±6 | 60 | 205525 301117 |

Fonox

Tyčinky



Používají se jako jádra laděných obvodů, tlumivek, transformátorů atd. Z elektromagnetických parametrů se zaručuje cívková permeabilita a činitel jakosti v dané cívice.

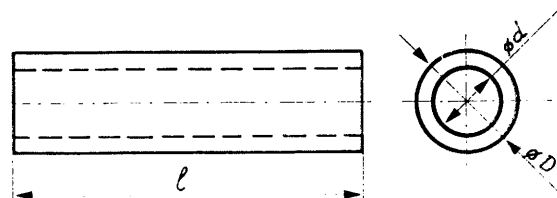
Vyráběné typy:

| Ø D (mm) | l (mm) | Materiál | Hmotn. (g) | Objednací číslo JK |
|-------------------------------------|----------------------------------|----------|------------|--------------------|
| 1±0,2 | 5-0,5 | H 11 | 0,032 | 205512 302000 |
| 1±0,2 | 8-0,5 | H 11 | 0,05 | 205512 302001 |
| 1,6±0,3 | 10-0,6 | H 11 | 0,08 | 205512 302002 |
| 1,6-0,3 | 16-1 | H 11 | 0,128 | 205512 302003 |
| 1,6±0,15 | 16 ⁺¹ _{-0,5} | N 1 | 0,14 | 205534 302015 |
| 1,6±0,15 | 8±0,5 | N 1 | 0,07 | 205534 302016 |
| 1,6±0,15 | 10±0,5 | N 1 | 0,085 | 205534 302019 |
| 1,6±0,15 | 12±0,5 | N 1 | 0,1 | 205534 302020 |
| 2 ^{+0,1} _{-0,05} | 4,5±0,3 | N 05 | 0,056 | 205533 302004 |
| 2 ^{+0,1} _{-0,05} | 4,5±0,3 | N 02 | 0,056 | 205532 302004 |
| 2±0,2 | 16±1 | H 11 | 0,2 | 205512 302005 |
| 2±0,2 | 32±1 | H 11 | 0,4 | 205512 302006 |
| 2,3-0,2 | 12±0,5 | N 01 P | 0,35 | 205536 302021 |
| 2,5-0,4 | 10-0,6 | H 11 | 0,187 | 205512 302007 |
| 2,5±0,2 | 16 ⁺¹ _{-0,5} | N 1 | 0,3 | 205534 302008 |
| 2,5-0,4 | 16-1 | H 11 | 0,3 | 205512 302009 |
| 2,5-0,4 | 25-1,5 | H 11 | 0,45 | 205512 302010 |
| 2,5-0,4 | 32-2 | H 11 | 0,58 | 205512 302011 |
| 2,5-0,4 | 40-2,5 | N 2 | 0,74 | 205535 302012 |
| 2,5-1,4 | 40-2,5 | H 11 | 0,74 | 205512 302012 |
| 2,8 ^{+0,1} _{-0,3} | 11±0,5 | H 11 | 0,26 | 205512 302100 |
| 2,8 ^{+0,1} _{-0,3} | 20±1 | H 11 | 0,49 | 205512 302101 |

| Ø D (mm) | l (mm) | Materiál | Hmotn. (g) | Objednací číslo JK |
|-------------------------------------|--------|----------|------------|--------------------|
| 2,8 ^{+0,1} _{-0,3} | 38±1 | H 11 | 0,92 | 205512 302102 |
| 4-0,4 | 10-0,6 | H 11 | 0,45 | 205512 302103 |
| 4-0,4 | 16-1 | H 11 | 0,7 | 205512 302104 |
| 4-0,4 | 25-1,5 | H 11 | 1,1 | 205512 302105 |
| 4-0,4 | 32-2 | H 11 | 1,4 | 205512 302106 |
| 4-0,4 | 40-2,5 | H 11 | 1,7 | 205512 302107 |
| 4-0,3 | 40±0,5 | N 2 | 1,6 | 205535 302116 |
| 4-0,4 | 20±1 | N 2 | 0,85 | 205535 402121 |
| 4,8-0,5 | 27±1 | H 11 | 1,7 | 205512 302200 |
| 5-0,1 | 25±1 | H 11 | 2,2 | 205512 302207 |
| 5,4-0,1 | 25±0,5 | N 2 | 2,5 | 205535 302209 |
| 6-0,4 | 25-1,5 | H 11 | 2,6 | 205512 302202 |
| 6-0,4 | 32-2 | H 11 | 3,3 | 205512 302203 |
| 6-0,4 | 40-2,5 | H 11 | 4,3 | 205512 302204 |
| 6-0,4 | 50-3 | H 11 | 4,9 | 205512 302205 |
| 6-0,4 | 63-3,5 | H 11 | 6,3 | 205512 302206 |
| 8-0,5 | 25-1,5 | H 11 | 5 | 205512 302301 |
| 8-0,5 | 32-2 | H 11 | 6,3 | 205512 302302 |
| 8-0,5 | 40-2,5 | H 11 | 7,8 | 205512 302303 |
| 8-0,5 | 50-3 | H 11 | 9,8 | 205512 302304 |
| 8-0,5 | 63-3,5 | H 11 | 12 | 205512 302305 |

fonox

Trubičky



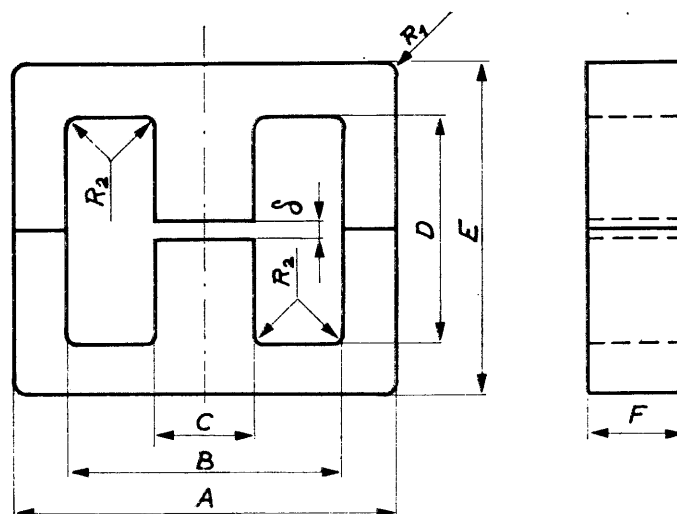
Používají se jako jádra všeho druhu. Z elektromagnetických parametrů se zaručuje cívková permeabilita a činitel jakosti v dané měrné cívce.

Vyráběné typy:

| Ø D (mm) | Ø d (mm) | l (mm) | Materiál | Hmotnost (g) | Objednací číslo JK |
|-------------------------------------|-----------------------------------|--------|----------|--------------|--------------------|
| 3,5 ^{+0,1} _{-0,4} | 1,3±0,2 | 5±0,5 | H 18 | 0,15 | 205515 302500 |
| 3,5±0,15 | 1,5±0,15 | 3±0,15 | H 12 | 0,1 | 205513 402506 |
| 4-0,4 | 2+0,4 | 7-0,5 | H 11 | 0,3 | 205512 302501 |
| 4-0,4 | 2+0,4 | 7-0,5 | H 18 | 0,3 | 205515 302501 |
| 4-0,4 | 2+0,4 | 7-0,5 | N 02 | 0,25 | 205532 302501 |
| 4-0,4 | 2+0,4 | 7-0,5 | N 2 | 0,25 | 205535 302501 |
| 4-0,05 | min. 2 | 15,7-1 | H 18 | 0,5 | 205515 302503 |
| 4,9±0,005 | 2 ^{+0,4} _{-0,1} | 20-1 | H 11 | 1,8 | 205512 402505 |
| 6-0,4 | 2+0,4 | 10-0,6 | H 11 | 1 | 205512 302600 |
| 6-0,4 | 2+0,4 | 20-1 | H 11 | 1,8 | 205512 302601 |
| 6-0,4 | 2+0,4 | 25-1,5 | H 11 | 2,2 | 205512 302602 |
| 6-0,4 | 2+0,4 | 32-2 | H 11 | 3 | 205512 302603 |
| 6-0,4 | 2+0,4 | 50-3 | H 11 | 4,5 | 205512 302604 |
| 6-0,4 | 2+0,4 | 63-3,5 | H 11 | 5,5 | 205512 302605 |
| 7±0,25 | 4,4±0,2 | 12±0,6 | N 1 | 1,1 | 205534 402612 |
| 8-0,5 | 3+0,4 | 32-2 | H 11 | 5,5 | 205512 302606 |
| 8-0,5 | 3+0,4 | 50-3 | H 11 | 9 | 205512 302607 |
| 8-0,5 | 3+0,4 | 64-4 | H 11 | 11 | 205512 302608 |
| 10-0,6 | 4+0,5 | 50-4 | H 11 | 13,9 | 205512 302700 |
| 10-0,6 | 4+0,5 | 63-4 | H 11 | 17,5 | 205512 302701 |
| 10-0,6 | 4+0,5 | 80-5 | H 11 | 22,4 | 205512 302702 |
| 13-1 | 4+1 | 50±2 | N 2 | 22 | 205535 302806 |
| 16-1 | 8+1 | 50-3 | H 11 | 26 | 205512 302800 |
| 16-1 | 8+1 | 63-4 | H 11 | 32 | 205512 302801 |
| 20±0,5 | 6+1 | 30±2 | N 2 | 40 | 205535 302802 |
| 25±0,5 | 6+1 | 30±2 | N 2 | 60 | 205535 302803 |
| 30±0,5 | 6+1 | 30±2 | N 2 | 85 | 205535 302804 |

Fonox

E-jádra



Feritová E-jádra se používají jako jádra transformátorů, měničů, tlumivek atd. Kompletní jádro se skládá ze dvou E-jader, která jsou na stykových plochách broušena. Pro obvody, kde je nutná teplotní stabilizace nebo stejnosměrné sycení se používají jádra se

vzduchovou mezerou. Tato vzniká zbroušením středního sloupku a jádra jsou párována tak, aby odpovídala hodnotě A_L konstanty. Jádra se vyrábějí z materiálů H 10, H 22, H 20 a pro výkonové použití z hmoty H 21.

Rozměry v mm

| Typ | A | B _{min} | C | D _{min} | E | F | R ₁ | R ₂ |
|----------|-----------------|------------------|----------|------------------|----------|----------|----------------|----------------|
| E 12,2 | 12,2 \pm 0,4 | 8,9 | 3—0,3 | 7,4 | 11,5—0,6 | 3—0,4 | 1 | 0,3 |
| E 20 | 20 \pm 0,6 | 15 | 5—0,3 | 11,4 | 17,2—0,8 | 4,8—0,4 | 1,5 | 0,4 |
| E 25 | 25 \pm 0,75 | 18,8 | 6—0,4 | 14 | 21,3—1 | 5,8—0,4 | 2 | 0,4 |
| E 32/7,8 | 32 \pm 1 | 23,6 | 8—0,5 | 17,2 | 26,2—1,2 | 7,8—0,5 | 2,5 | 0,5 |
| E 32/12 | 32 \pm 1 | 23,6 | 8—0,5 | 17,2 | 26,2—1,2 | 12—0,7 | 2,5 | 0,5 |
| E 42/15 | 42 \pm 1,25 | 29,5 | 12—0,7 | 29 | 42,6—1,5 | 15—0,9 | 2,5 | 0,5 |
| E 42/20 | 42 \pm 1—0,7 | 29,5 | 12,2—0,5 | 29,6 | 42,4—0,8 | 20—1 | 2,5 | 0,5 |
| E 55 | 55,2 \pm 1,45 | 37,5 | 17—0,9 | 38 | 57,0—1,7 | 21—1 | 2,5 | 0,5 |
| E 65 | 65,4 \pm 1,6 | 44,2 | 20—1 | 45 | 66,6—2 | 27,4—1,2 | 3 | 0,5 |

Údaje pro výpočty:

| Typ | l _{ef} (mm) | S _{ef} (mm ²) | V _{ef} (mm ³) | C ₁ (mm ⁻¹) | Hmotnost (g) |
|----------|----------------------|------------------------------------|------------------------------------|------------------------------------|--------------|
| E 12,2 | 26 | 10,5 | 274 | 3,131 | 1,2 |
| E 20 | 40,7 | 26,6 | 1 082 | 1,797 | 5,6 |
| E 25 | 56,9 | 33,2 | 1 894 | 1,716 | 9,6 |
| E 32/7,8 | 71,6 | 60 | 4 296 | 1,196 | 20 |
| E 32/12 | 71,6 | 90 | 6 444 | 0,798 | 30 |
| E 42/15 | 95,2 | 171,9 | 16 360 | 0,553 | 93 |
| E 42/20 | 97 | 240 | 23 280 | | 120 |
| E 55 | 122,3 | 343 | 41 950 | 0,356 | 227 |
| E 65 | 147 | 531 | 78 060 | 0,276 | 410 |

Vyráběné typy:

Materiál: H 10

| Typ | A_L (nH) | $\sim \delta$ (mm) | Objednací číslo JK |
|----------|--------------------|--------------------|--------------------|
| E 12,2 | $220 \pm 25 \%$ | — | 205514 203000 |
| E 20 | $520 \pm 25 \%$ | — | 205514 203050 |
| E 25 | $650 \pm 25 \%$ | — | 205514 203100 |
| | $175 \pm 15 \%$ | 0,15 | 205514 203101 |
| | $150 \pm 15 \%$ | 0,20 | 205514 203102 |
| | $100 \pm 15 \%$ | 0,40 | 205514 203103 |
| E 32/7,8 | $1\,100 \pm 25 \%$ | — | 205514 203150 |
| | $350 \pm 15 \%$ | 0,15 | 205514 203151 |
| | $285 \pm 15 \%$ | 0,20 | 205514 203152 |
| | $175 \pm 15 \%$ | 0,50 | 205514 203153 |
| | $250 \pm 15 \%$ | 0,30 | 205514 203154 |
| | $200 \pm 15 \%$ | 0,40 | 205514 203155 |
| E 42/15 | $2\,800 \pm 25 \%$ | — | 205514 203250 |
| | $750 \pm 15 \%$ | 0,20 | 205514 203251 |
| | $450 \pm 15 \%$ | 0,50 | 205514 203252 |
| | $250 \pm 15 \%$ | 1,00 | 205514 203253 |
| E 55 | $4\,000 \pm 25 \%$ | — | 205514 203300 |
| | $1\,500 \pm 15 \%$ | 0,20 | 205514 203301 |
| | $1\,400 \pm 15 \%$ | 0,25 | 205514 203302 |
| | $850 \pm 15 \%$ | 0,50 | 205514 203303 |

Materiál: H 20

| Typ | A_L (nH) | $\sim \delta$ (mm) | Objednací číslo JK |
|----------|--------------------|--------------------|--------------------|
| E 20 | $900 \pm 25 \%$ | — | 205516 203050 |
| | $63 \pm 10 \%$ | 0,53 | 205516 203051 |
| | $100 \pm 15 \%$ | 0,3 | 205516 203052 |
| | $160 \pm 15 \%$ | 0,15 | 205516 203053 |
| | $250 \pm 20 \%$ | 0,08 | 205516 203054 |
| | $400 \pm 20 \%$ | 0,03 | 205516 203055 |
| E 32/7,8 | $1\,800 \pm 25 \%$ | — | 205516 203150 |
| | $100 \pm 10 \%$ | 1,00 | 205516 203156 |
| | $160 \pm 10 \%$ | 0,50 | 205516 203157 |
| | $250 \pm 15 \%$ | 0,28 | 205516 203158 |
| | $400 \pm 20 \%$ | 0,14 | 205516 203159 |
| | $630 \pm 20 \%$ | 0,07 | 205516 203160 |
| E 55 | $5\,600 \pm 25 \%$ | — | 205516 203300 |

Materiál: H 22

| Typ | A_L (nH) | $\sim \delta$ (mm) | Objednací číslo JK |
|----------|--------------------|--------------------|--------------------|
| E 12,2 | $480 \pm 25 \%$ | — | 205517 203000 |
| E 20 | $1\,000 \pm 25 \%$ | — | 205517 203050 |
| | $63 \pm 10 \%$ | 0,75 | 205517 203051 |
| | $100 \pm 15 \%$ | 0,35 | 205517 203052 |
| | $160 \pm 15 \%$ | 0,20 | 205517 203053 |
| | $250 \pm 20 \%$ | 0,10 | 205517 203054 |
| | $400 \pm 20 \%$ | 0,05 | 205517 203055 |
| E 25 | $1\,200 \pm 25 \%$ | — | 205517 203100 |
| | $100 \pm 10 \%$ | 0,75 | 205517 203104 |
| | $160 \pm 15 \%$ | 0,35 | 205517 203105 |
| | $250 \pm 20 \%$ | 0,17 | 205517 203106 |
| | $400 \pm 20 \%$ | 0,10 | 205517 203107 |
| | $630 \pm 20 \%$ | 0,05 | 205517 203108 |
| E 32/7,8 | $2\,000 \pm 25 \%$ | — | 205517 203150 |
| | $100 \pm 10 \%$ | 1,2 | 205517 203156 |
| | $160 \pm 10 \%$ | 0,6 | 205517 203157 |
| | $250 \pm 15 \%$ | 0,3 | 205517 203158 |
| | $400 \pm 20 \%$ | 0,15 | 205517 203159 |
| | $630 \pm 20 \%$ | 0,07 | 205517 203160 |
| E 32/12 | $3\,000 \pm 25 \%$ | — | 205517 203200 |
| | $160 \pm 10 \%$ | 0,90 | 205517 203201 |
| | $250 \pm 15 \%$ | 0,45 | 205517 203202 |
| | $400 \pm 20 \%$ | 0,22 | 205517 203203 |
| | $630 \pm 20 \%$ | 0,14 | 205517 203204 |
| | $1\,000 \pm 20 \%$ | 0,07 | 205517 203205 |
| E 42/15 | $4\,000 \pm 25 \%$ | — | 205517 203250 |
| | $250 \pm 10 \%$ | 1,2 | 205517 203254 |
| | $400 \pm 10 \%$ | 0,6 | 205517 203255 |
| | $630 \pm 15 \%$ | 0,35 | 205517 203256 |
| | $1\,000 \pm 20 \%$ | 0,16 | 205517 203257 |
| | $1\,600 \pm 20 \%$ | 0,10 | 205517 203258 |
| E 55 | $6\,500 \pm 25 \%$ | — | 205517 203300 |
| | $250 \pm 10 \%$ | 2,00 | 205517 203304 |
| | $400 \pm 10 \%$ | 1,2 | 205517 203305 |
| | $630 \pm 15 \%$ | 0,6 | 205517 203306 |
| | $1\,000 \pm 15 \%$ | 0,3 | 205517 203307 |
| | $1\,600 \pm 20 \%$ | 0,2 | 205517 203308 |
| E 65 | $2\,500 \pm 20 \%$ | 0,1 | 205517 203309 |
| | $9\,000 \pm 25 \%$ | — | 205517 203350 |
| | $400 \pm 10 \%$ | 1,8 | 205517 203351 |
| | $630 \pm 10 \%$ | 1,2 | 205517 203352 |
| | $1\,000 \pm 15 \%$ | 0,6 | 205517 203353 |
| | $1\,600 \pm 15 \%$ | 0,3 | 205517 203354 |
| | $2\,500 \pm 20 \%$ | 0,2 | 205517 203355 |
| | $4\,000 \pm 20 \%$ | 0,1 | 205517 203356 |

Materiál: H 21

| Typ | B_a (mT) | P_c (W) | Objednací číslo JK |
|---------|---|--|--------------------|
| | při $H = 250 \text{ A/m}$ $f \leq 5 \text{ kHz}$ $\vartheta = 100 \pm 5^\circ\text{C}$ | při $B = 200 \text{ mT}$ $f = 15 \text{ kHz}$ $\vartheta = 100 \pm 5^\circ\text{C}$ | |
| E 42/15 | ≥ 310 | $\leq 2,0$ | 205521 203250 |
| E 42/20 | ≥ 310 | $\leq 2,5$ | 205521 309026 |
| E 55 | ≥ 310 | $\leq 4,8$ | 205521 203300 |

Pozn.: U typu E 42/20 je navíc zaručována hodnota
 $P_c \leq 3 \text{ W}$ při $\vartheta = 23 \pm 5^\circ\text{C}$.

U - jádra

Používají se jako jádra pro transformátory, měniče a všude tam, kde nevyhovují kovové magnetické materiály. Vyznačují se vysokou hodnotou permeability

a nízkými ztrátami. Jádra s kruhovým průřezem se používají pro vn transformátory televizních přijímačů.

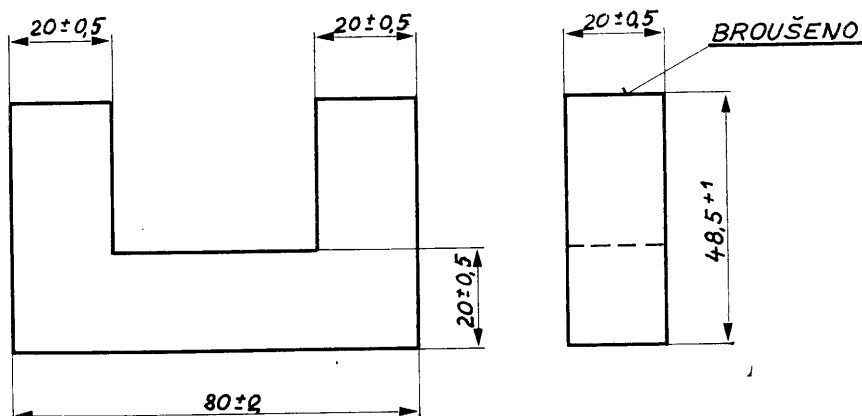
Vyráběné typy:

Materiál: H 11

Hmotnost: 265 g

Objednací číslo JK: 205512 404006

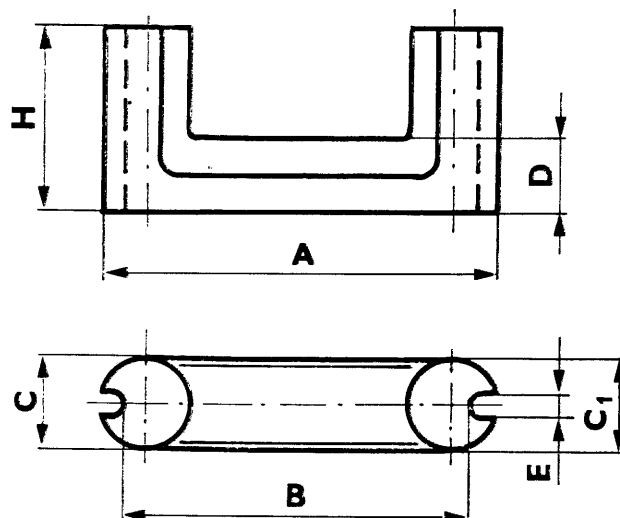
Pozn.: Připravuje se výroba z hmoty H 21



FONOX

U - jádra

Materiál: H 21



Rozměry v mm

| Typ | A | B | C | C ₁ | D _{max} | E | H | Objednací číslo JK |
|-------------|------|----------|------------|----------------|------------------|------|------|--------------------|
| U 52 | 52 | 46,1±0,8 | 11,15±0,25 | | 9,8 | 3,25 | 23,7 | 205521 304111 |
| U 57 | 57,8 | 49,8±1 | 15,5±0,5 | 15,9±0,5 | 12,8 | 4,7 | 28,4 | 205521 304109 |
| U 59 | 59 | 50,5±1 | 17±0,5 | | 14,2 | 4,5 | 35,8 | 205521 304110 |

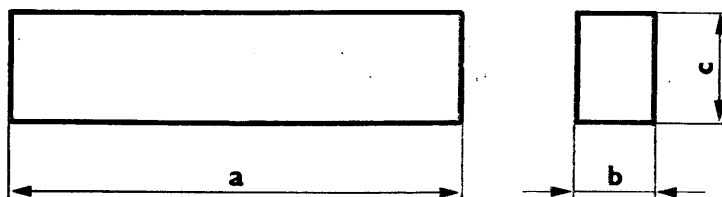
Elektromagnetické hodnoty a údaje pro výpočty (platí pro pár)

| Typ | B _a (mT) | P _c (W) | P _c (W) | S _{ef} (mm ²) | l _{ef} (mm) | Hmotnost (g) |
|-------------|--|--|---|------------------------------------|----------------------|--------------|
| | při H = 250 A/m f ≤ 15 kHz θ = 100±5 °C | při B = 200 mT f = 15 kHz θ = 23±5 °C | při B = 200 mT f = 15 kHz θ = 100±5 °C | | | |
| U 52 | ≥ 310 | ≤ 1,7 | ≤ 1,55 | 93 | 148 | 70 |
| U 57 | ≥ 310 | ≤ 3,3 | ≤ 3,05 | 170 | 163 | 145 |
| U 59 | ≥ 310 | ≤ 4,8 | ≤ 4,4 | 210 | 189 | 200 |

FONOX

I-jádra

Mohou se použít pro otevřené obvody nebo v kombinaci s U-jádry pro uzavřené obvody v transformátorech.



Vyráběné typy:

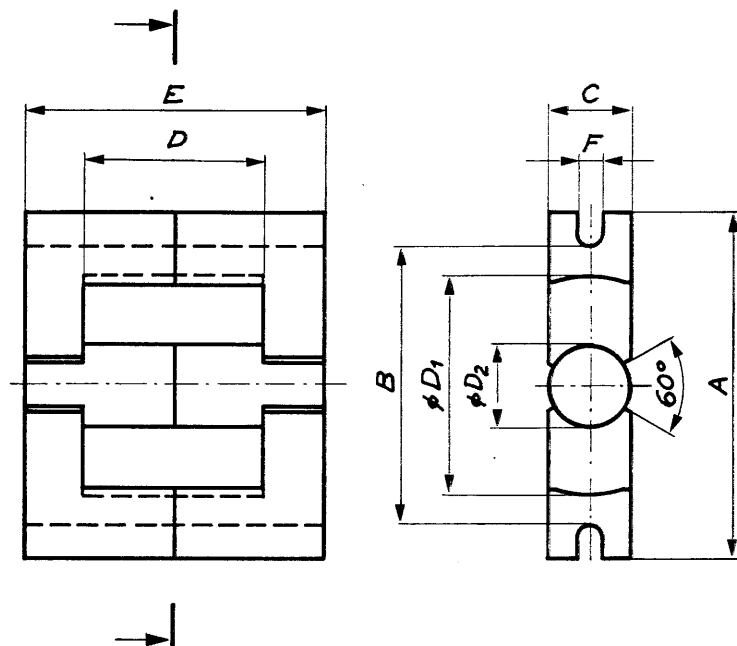
Rozměry v mm

| a | b | c | Materiál | Hmotnost (g) | Broušeno | Objednací číslo JK |
|--------------|--------------|--------------|----------|--------------|------------------|--------------------|
| 50 \pm 0,2 | 20 \pm 0,5 | 20 \pm 0,5 | H 11 | 96 | Obě plochy bxc | 205512 404210* |
| 80 \pm 2 | 20 \pm 0,5 | 20 \pm 0,5 | H 21 | 153 | Jedna plocha axb | 205521 404214* |
| 50 \pm 3 | 20 \pm 0,5 | 20 \pm 0,5 | H 11 | 98 | — | 205512 404215* |
| 50 \pm 3 | 20 \pm 0,5 | 10 \pm 0,5 | H 11 | 49 | — | 205512 404216* |
| 120 \pm 2 | 20 \pm 0,6 | 30 \pm 0,9 | H 11 | 345 | — | 205512 404217* |
| 80 \pm 1,5 | 20 \pm 0,6 | 30 \pm 0,9 | H 11 | 230 | — | 205512 404218* |
| 120 \pm 2 | 20 \pm 0,6 | 30 \pm 0,9 | H 11 | 345 | Jedna plocha axb | 205512 409032 |
| 80 \pm 0,2 | 20 \pm 0,6 | 30 \pm 0,9 | H 11 | 230 | Obě plochy bxc | 205512 409033 |

FONLOX

EC-jádra

Výroba EC-jader je zavedena pro použití ve spínacích zdrojích a měničích z materiálu H 21. Na rozdíl od E-jader umožňuje střední sloupek použití kostříček s kruhovým průřezem.



Vyráběné typy:

Rozměry v mm

| Typ | A | B | ØD ₁ | ØD ₂ | C | D | E | F | Objednací č. JK |
|-------|----------|----------|-----------------|-----------------|-----------|----------|----------|---------|-----------------|
| EC 35 | 35,3-1,6 | 27,7+1,6 | 22,2+1,1 | 9,8-0,6 | 9,8-0,6 | 23,8+1,4 | 34,9-0,6 | 2,5+0,5 | 205521 204400 |
| EC 52 | 53,5-2,6 | 42,7+2,6 | 32,1+1,8 | 13,75-0,7 | 13,75-0,7 | 31,0+1,6 | 48,7-0,6 | 3,5+0,5 | 205521 204450 |
| EC 70 | 71,7-3,4 | 57,9+3,4 | 43,3+2,4 | 16,8-0,8 | 16,8-0,8 | 44,6+1,8 | 69,3-0,6 | 4,5+0,5 | 205521 204475 |

Údaje pro výpočty:

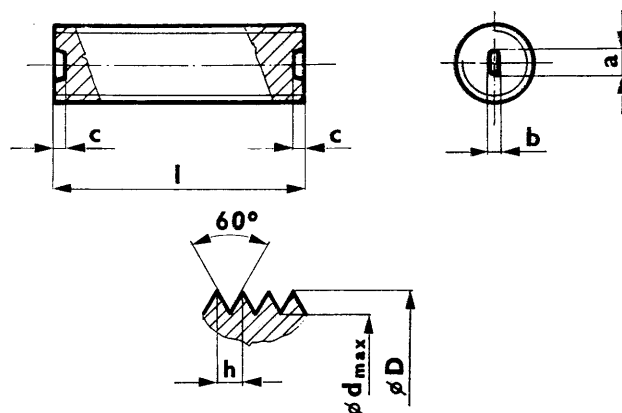
| Typ | l _{ef} (mm) | S _{ef} (mm) | S _{CPmin} (mm ²) | Hmotnost (g) |
|-------|----------------------|----------------------|---------------------------------------|--------------|
| EC 35 | 77,4 | 84,3 | 66,5 | 36 |
| EC 52 | 105 | 180 | 133,8 | 108 |
| EC 70 | 144 | 279 | 201 | 252 |

Elektromagnetické hodnoty:

| Typ | B _a (mT) při H = 250 A/m f ≤ 15 kHz θ = 100±5 °C | P _c (W) při B = 200 mT f = 15 kHz θ = 23±5 °C | P _c (W) při B = 200 mT f = 15 kHz θ = 100±5 °C | Objednací číslo JK |
|-------|---|--|---|--------------------|
| EC 35 | ≥ 310 | ≤ 0,95 | ≤ 0,8 | 205521 204400 |
| EC 52 | ≥ 310 | ≤ 2,9 | ≤ 2,5 | 205521 204450 |
| EC 70 | ≥ 310 | ≤ 6,5 | ≤ 5,5 | 205521 204475 |

Závitová jádra

Používají se pro doladování miniaturních indukčností všeho druhu. Rozměry závitů odpovídají doporučení IEC. Jádra se vyrábějí s oboustrannou drážkou pro šroubovák. Zaručuje se cívková permeabilita a minimální hodnota činitele jakosti v měrné cívce.



Vyráběné typy:

Rozměry v mm

| ØD | Ød max | h | a | b | c | l | Materiál | Hmotnost (g) | Objednací číslo JK |
|----------|--------|-----|-----|-----|-----|--------|----------|--------------|--------------------|
| 2,8—0,1 | 2,5 | 0,5 | 1,2 | 0,5 | 0,5 | 5±0,5 | N 01 P | 0,12 | 205536 304510* |
| | | | | | | 6±0,5 | N 01 | 0,15 | 205531 304507 |
| | | | | | | 8±0,5 | H 7 | 0,2 | 205525 304501 |
| 3,25—01 | 2,8 | 0,5 | 1,7 | 0,6 | 0,5 | 5±0,5 | N 01 | 0,18 | 205531 304502 |
| | | | | | | 5±0,5 | N 02 | 0,18 | 205532 304502 |
| | | | | | | 5±0,5 | N 01 P | 0,18 | 205536 304502 |
| | | | | | | 5±0,5 | N 01 P | 0,18 | 205536 304509 |
| | | | | | | 8±0,5 | N 05 | 0,32 | 205533 304504 |
| | | | | | | 10±0,5 | N 01 | 0,35 | 205531 304500 |
| | | | | | | 10±0,5 | N 01 P | 0,35 | 205536 304508 |
| | | | | | | 12±0,5 | H 7 | 0,4 | 205525 304503 |
| | | | | | | 12±0,5 | N 1 | 0,4 | 205534 304503 |
| | | | | | | 12±0,5 | N 05 | 0,4 | 205533 304503 |
| 3,65±0,1 | 3,3 | 0,5 | 1,8 | 0,7 | 1 | 6±0,5 | N 01 | 0,25 | 205531 304657 |
| | | | | | | 6±0,5 | N 02 | 0,25 | 205532 304657 |
| | | | | | | 6±0,5 | N 1 | 0,25 | 205534 304657 |
| | | | | | | 8±0,5 | N 01 P | 0,35 | 205536 304600 |
| | | | | | | 8±0,5 | N 01 | 0,35 | 205531 304650 |
| | | | | | | 8±0,5 | N 02 | 0,35 | 205532 304650 |
| | | | | | | 8±0,5 | N 05 | 0,35 | 205533 304650 |
| | | | | | | 8±0,5 | N 1 | 0,35 | 205534 304650 |
| | | | | | | 8±0,5 | H 10 | 0,35 | 205514 304650 |
| | | | | | | 10±0,5 | N 01 | 0,4 | 205531 304658 |
| | | | | | | 10±0,5 | H 10 | 0,4 | 205514 304658 |
| | | | | | | 10±0,5 | N 05 | 0,4 | 205533 304658 |
| | | | | | | 10±0,5 | N 1 | 0,4 | 205534 304658 |
| | | | | | | 10±0,5 | N 01 P | 0,4 | 205536 304606 |
| | | | | | | 12±0,5 | N 02 | 0,48 | 205532 304651 |
| | | | | | | 12±0,5 | N 05 | 0,48 | 205533 304651 |
| | | | | | | 12±0,5 | N 1 | 0,48 | 205534 304651 |
| | | | | | | 12±0,5 | H 11 | 0,48 | 205512 304651 |
| | | | | | | 12±0,5 | H 10 | 0,48 | 205514 304651 |
| | | | | | | 13±0,5 | N 01 P | 0,55 | 205536 304608 |

Závitová jádra

Rozměry v mm

| ØD | Ød max | h | a | b | c | l | Materiál | Hmotnost (g) | Objednací číslo JK |
|-----------|--------|------|-----|---|-----|--------|----------|--------------|--------------------|
| 5,55+0,15 | 4,9 | 0,75 | 2,2 | 1 | 1,5 | 12±0,5 | H 10 | 1,5 | 205514 304654 |
| | | | | | | 25±1 | H 7 | 3,2 | 205552 304660 |
| 5,65+0,1 | 5,3 | 0,5 | 2,2 | 1 | 1,5 | 12±0,5 | H 10 | 1,5 | 205514 304652 |
| | | | | | | 12±0,5 | N 05 | 1,5 | 205533 304652 |
| | | | | | | 12±0,5 | N 1 | 1,5 | 205534 304652 |
| 9,6—0,1 | 8,55 | 1 | 4 | 2 | 1,5 | 20±0,5 | H 7 | | 205525 304703 |

Hrníčková jádra

Hrníčková jádra tvoří nejrozšířenější skupinu feritových jader, jejichž rozměrová normalizace celosvětově, nejvíce díky IEC, pokročila.

Jádra se dodávají:

1. bez vzduchové mezery
2. se vzduchovou mezerou

Pod objednacím číslem se rozumí kompletní jádro, tj. složené ze dvou dílů, vzájemně zabroušených.

Hrníčková jádra bez vzduchové mezery.

Používají se jako jádra transformátorů, tlumivek, nenáročných indukčností atd. Jsou označena potiskem, a to značkou materiálu a hodnotou A_L konstanty.

Hrníčková jádra se vzduchovou mezerou.

Pro filtry a obvody s vysokou jakostí a stálostí je nutné používat jáder se vzduchovou mezerou. Vy-
broušením vzduchové mezery poklesne efektivní permeabilita, ale současně dojde k poklesu ztrát a teplotního činitele. A_L se zaručuje v užších tolerancích, což značně usnadňuje výpočet i vlastní výrobu cívek.

Jádra se vzduchovou mezerou je možné doladovat v určitých mezích.

Všeobecné pokyny

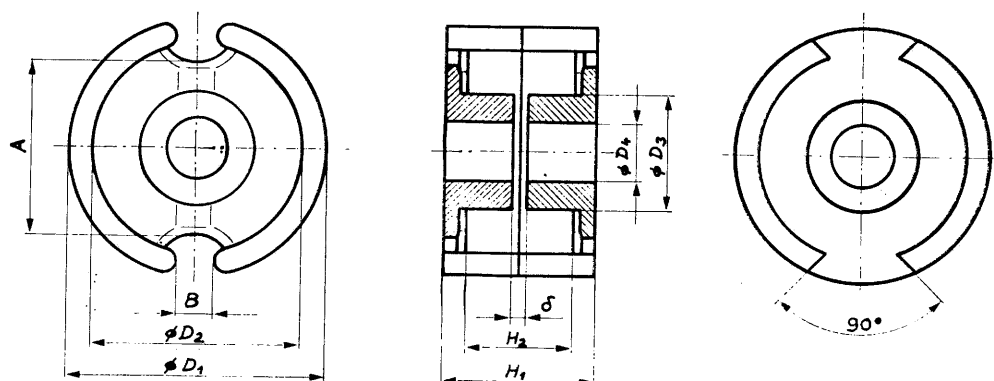
Při měření a používání hrníčkových jader je nutné dbát těchto pokynů:

- dosedací plochy musí být dokonale čisté,
- cívková tělíska a vlastní cívky musí mít takové rozměry, aby uložení do hrníčkového jádra nevznikala vzduchová mezera, případně nedošlo násilnou manipulací k poškození jádra,
- jádra jsou vyrobena z materiálu keramického charakteru, proto je nutná opatrnost při manipulaci.

Dolad'ovací elementy

Výrobce dodává široký sortiment dolad'ovacích elementů bez nástřiku závitů. Rozladitelnost jednotlivých typů je uvedena při popisu jejich vlastností.

Hrníčková jádra



Typ Ø 9×5

Rozměry v mm

| Typ | ØD ₁ | ØD ₂ | ØD ₃ | ØD ₄ | H ₁ | H ₂ | A | B | Hmotnost (~g) |
|---------|-----------------|-----------------|-----------------|-----------------|----------------|----------------|----------|-----|------------------|
| Ø 9×5 | 9,3-0,3 | 7,5+0,25 | 3,9-0,2 | 2+0,2 | 5,4-0,3 | 3,6+0,3 | — | 2 | 0,8 |
| Ø 14×8 | 14,3-0,5 | 11,6+0,4 | 6-0,2 | 3+0,2 | 8,5-0,3 | 5,6+0,4 | 9,8-0,5 | 2 | 3,2 |
| Ø 18×11 | 18,4-0,8 | 14,9+0,5 | 7,6-0,3 | 3+0,2 | 10,7-0,3 | 7,2+0,4 | 13,1-0,5 | 2,5 | 7 |
| Ø 26×16 | 26-1 | 21,2+0,8 | 11,5-0,4 | 5,4+0,3 | 16,3-0,4 | 11+0,4 | 18,4-0,7 | 3,5 | 20 |
| Ø 30×19 | 30,5-1 | 25+0,8 | 13,5-0,4 | 5,4+0,3 | 19-0,4 | 13+0,4 | 21,4-0,8 | 4 | 36 |
| Ø 36×22 | 36,2-1,2 | 29,9+1 | 16,2-0,6 | 5,4+0,3 | 22-0,6 | 14,6+0,4 | 26-1 | 4,5 | 57 |
| Ø 42×29 | 43,1-1,4 | 35,6+1,4 | 17,7-0,6 | 5,4+0,3 | 29,9-0,6 | 20,3+0,4 | 32-2 | 5 | 120 |

Údaje pro výpočty:

| Typ | střední délka mag- netické siločáry l _{ef} (mm) | efektivní průřez S _{ef} (mm ²) | efektivní objem V _{ef} (mm ³) | tvarová konstanta C ₁ mm ⁻¹) |
|---------|--|---|--|---|
| Ø 9×5 | 12,4 | 10 | 120 | 1,25 |
| Ø 14×8 | 19,8 | 25 | 490 | 0,789 |
| Ø 18×11 | 25,8 | 43 | 1 120 | 0,597 |
| Ø 26×16 | 37,6 | 93 | 3 530 | 0,4 |
| Ø 30×19 | 45,2 | 137 | 6 190 | 0,33 |
| Ø 36×22 | 53,2 | 202 | 10 700 | 0,264 |
| Ø 42×29 | 68,6 | 265 | 18 200 | 0,259 |

fonox

Hrníčková jádra

Vyráběné typy:

Materiál: H 6

| Typ | A_L (nH) | δ (mm) | Objednací číslo JK |
|--------------------------|-----------------|---------------|--------------------|
| $\emptyset 14 \times 8$ | $800 \pm 25 \%$ | — | 205511 005200 |
| | $40 \pm 3 \%$ | 1,0 | 205511 005201 |
| | $63 \pm 3 \%$ | 0,53 | 205511 005202 |
| | $100 \pm 3 \%$ | 0,30 | 205511 005203 |
| | $160 \pm 3 \%$ | 0,14 | 205511 005204 |
| $\emptyset 18 \times 11$ | $100 \pm 25 \%$ | — | 205511 005250 |
| | $40 \pm 3 \%$ | 2,45 | 205511 005251 |
| | $63 \pm 3 \%$ | 1,25 | 205511 005252 |
| | $100 \pm 3 \%$ | 0,62 | 205511 005253 |
| $\emptyset 26 \times 16$ | $800 \pm 25 \%$ | — | 205511 005350 |
| | $100 \pm 3 \%$ | 1,65 | 205511 005351 |
| | $160 \pm 3 \%$ | 0,80 | 205511 005352 |
| | $250 \pm 3 \%$ | 0,40 | 205511 005353 |
| | $400 \pm 3 \%$ | 0,20 | 205511 005354 |

Materiál: H 12

| Typ | A_L (nH) | δ (mm) | Objednací číslo JK |
|--------------------------|------------------|---------------|--------------------|
| $\emptyset 9 \times 5$ | $800 \pm 25 \%$ | — | 205513 005100 |
| | $40 \pm 3 \%$ | 0,40 | 205513 005102 |
| | $63 \pm 3 \%$ | 0,20 | 205513 005103 |
| | $100 \pm 5 \%$ | 0,11 | 205513 005104 |
| | $160 \pm 5 \%$ | 0,06 | 205513 005105 |
| | $250 \pm 5 \%$ | 0,03 | 205513 005106 |
| $\emptyset 14 \times 8$ | $1500 \pm 25 \%$ | — | 205513 005200 |
| | $40 \pm 3 \%$ | 1,20 | 205513 005201 |
| | $63 \pm 3 \%$ | 0,79 | 205513 005202 |
| | $100 \pm 3 \%$ | 0,35 | 205513 005203 |
| | $160 \pm 3 \%$ | 0,19 | 205513 005204 |
| $\emptyset 18 \times 11$ | $2000 \pm 25 \%$ | — | 205513 005250 |
| | $40 \pm 3 \%$ | 2,35 | 205513 005251 |
| | $63 \pm 3 \%$ | 1,30 | 205513 005252 |
| | $100 \pm 3 \%$ | 0,64 | 205513 005253 |
| | $160 \pm 3 \%$ | 0,32 | 205513 005254 |
| | $250 \pm 3 \%$ | 0,18 | 205513 005255 |
| $\emptyset 26 \times 16$ | $3200 \pm 25 \%$ | — | 205513 005350 |
| | $40 \pm 3 \%$ | 4,80 | 205513 005357 |
| | $100 \pm 3 \%$ | 1,50 | 205513 005351 |
| | $160 \pm 3 \%$ | 0,80 | 205513 005352 |
| | $250 \pm 3 \%$ | 0,40 | 205513 005353 |
| | $400 \pm 3 \%$ | 0,22 | 205513 005354 |
| | $630 \pm 3 \%$ | 0,13 | 205513 005355 |
| $\emptyset 30 \times 19$ | $3600 \pm 25 \%$ | — | 205513 005400 |
| | $250 \pm 3 \%$ | 0,72 | 205513 005401 |
| | $400 \pm 3 \%$ | 0,40 | 205513 005402 |
| | $630 \pm 3 \%$ | 0,22 | 205513 005403 |
| | $1000 \pm 3 \%$ | 0,12 | 205513 005404 |
| $\emptyset 36 \times 22$ | $5000 \pm 25 \%$ | — | 205513 005450 |
| | $160 \pm 3 \%$ | 2,10 | 205513 005451 |
| | $250 \pm 3 \%$ | 1,22 | 205513 005452 |
| | $400 \pm 3 \%$ | 0,63 | 205513 005453 |
| | $630 \pm 3 \%$ | 0,35 | 205513 005454 |
| | $1000 \pm 5 \%$ | 0,20 | 205513 005455 |
| $\emptyset 42 \times 29$ | $5800 \pm 25 \%$ | — | 205513 005500 |
| | $250 \pm 3 \%$ | 1,3 | 205513 005501 |
| | $400 \pm 3 \%$ | 0,7 | 205513 005502 |
| | $630 \pm 3 \%$ | 0,4 | 205513 005503 |
| | $1000 \pm 3 \%$ | 0,21 | 205513 005504 |
| | $1600 \pm 5 \%$ | 0,10 | 205513 005505 |

Materiál: H 22

| Typ | A_L (nH) | δ (mm) | Objednací číslo JK |
|--------------------------|-------------------|---------------|--------------------|
| $\emptyset 18 \times 11$ | $2\,500 \pm 25\%$ | — | 205517 005250 |
| | $100 \pm 3\%$ | 0,66 | 205517 005253 |
| | $160 \pm 3\%$ | 0,34 | 205517 005254 |
| | $250 \pm 3\%$ | 0,20 | 205517 005255 |
| | $400 \pm 5\%$ | 0,10 | 205517 005256 |
| $\emptyset 26 \times 16$ | $4\,200 \pm 25\%$ | — | 205517 005350 |
| | $160 \pm 3\%$ | 0,82 | 205517 005352 |
| | $250 \pm 3\%$ | 0,42 | 205517 005353 |
| | $400 \pm 3\%$ | 0,24 | 205517 005354 |
| | $630 \pm 3\%$ | 0,15 | 205517 005355 |
| | $1\,000 \pm 5\%$ | 0,10 | 205517 005356 |
| $\emptyset 36 \times 22$ | $8\,000 \pm 25\%$ | — | 205517 005450 |
| | $250 \pm 3\%$ | 1,25 | 205517 005452 |
| | $400 \pm 3\%$ | 0,67 | 205517 005453 |
| | $630 \pm 3\%$ | 0,36 | 205517 005454 |
| | $1\,000 \pm 5\%$ | 0,21 | 205517 005455 |
| | $1\,600 \pm 5\%$ | 0,10 | 205517 005456 |

Materiál: H 23

| Typ | A_L (nH) | δ (mm) | Objednací číslo JK |
|--------------------------|-------------------|---------------|--------------------|
| $\emptyset 26 \times 16$ | $4\,800 \pm 25\%$ | — | 205519 005350 |
| | $160 \pm 3\%$ | 0,82 | 205519 005352 |
| | $250 \pm 3\%$ | 0,42 | 205519 005353 |
| | $400 \pm 3\%$ | 0,24 | 205519 005354 |
| | $630 \pm 3\%$ | 0,15 | 205519 005355 |
| | $1\,000 \pm 5\%$ | 0,10 | 205519 005356 |
| $\emptyset 36 \times 22$ | $8\,000 \pm 25\%$ | — | 205519 005450 |
| | $250 \pm 3\%$ | 1,10 | 205519 005452 |
| | $400 \pm 3\%$ | 0,65 | 205519 005453 |
| | $630 \pm 3\%$ | 0,35 | 205519 005454 |
| | $1\,000 \pm 5\%$ | 0,20 | 205519 005455 |
| | $1\,600 \pm 5\%$ | 0,10 | 205519 005456 |

Materiál: N 08 P

| Typ | A_L (nH) | δ (mm) | Objednací číslo JK |
|--------------------------|----------------|---------------|--------------------|
| $\emptyset 18 \times 11$ | $180 \pm 25\%$ | — | 205537 205250 |
| | $40 \pm 3\%$ | 1,5 | 205537 205251 |

Materiál: H 21

| Typ | B_a (mT) | P_c (W) | δ (mm) | Objednací č. JK |
|--------------------------|--|---|----------------|-----------------|
| | při $H=250\text{A/m}$ $f \leq 5\text{ kHz}$ $\vartheta=100 \pm 5^\circ\text{C}$ | při $B=200\text{mT}$ $f = 15\text{ kHz}$ $\vartheta=100 \pm 5^\circ\text{C}$ | | |
| $\emptyset 26 \times 16$ | ≥ 310 | $\leq 0,5$ | — | 205521 005350* |
| $\emptyset 26 \times 16$ | — | — | $0,4 \pm 0,05$ | 205521 005354* |
| $\emptyset 36 \times 22$ | ≥ 310 | $\leq 1,4$ | — | 205521 005450* |

Pozn.: Připravují se ve vývoji hrnčky $\emptyset 30 \times 19$ a $\emptyset 42 \times 29$

fonox

Jádra pro vychylovací cívky

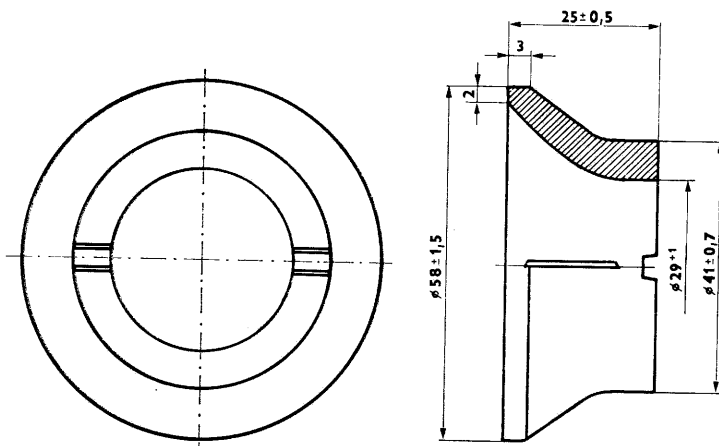
Jádra se používají do vychylovacích systémů barevných a černobílých televizních přijímačů. Pro snadnou montáž cívek se dodávají půlená. Jádra určená pro barevné obrazovky se vyrábějí z materiálu H 3 R, který vykazuje vysokou hodnotu rezistivity.

Vyráběné typy:

JÁDRO PRO OBRAZOVKY MINIATURNÍCH ČERNOBÍLÝCH TELEVIZORŮ

Materiál: H 11

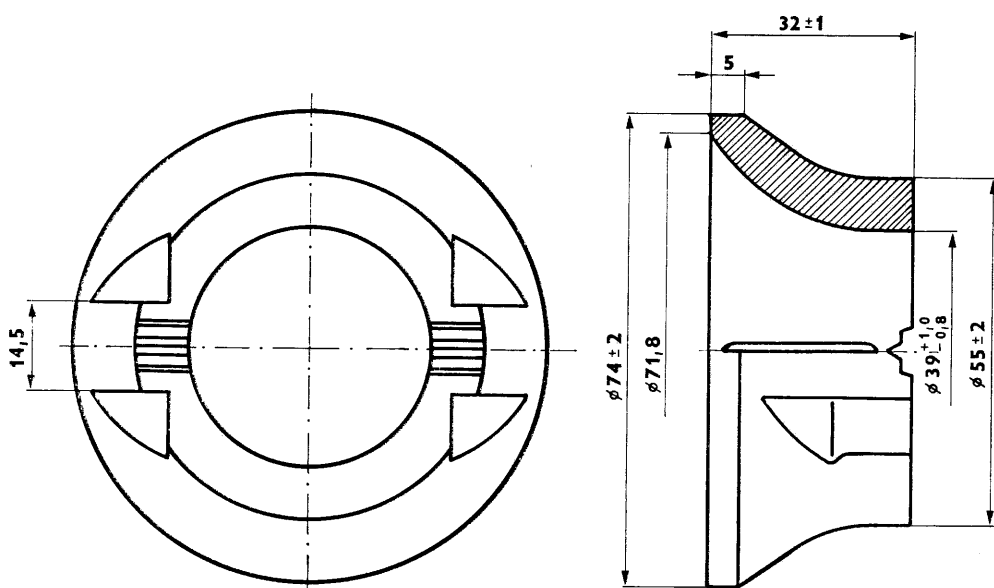
Hmotnost: 85 g
Objednací číslo JK: 205512 306016



UNIVERZÁLNÍ JÁDRO PRO ČERNOBÍLÉ OBRAZOVKY

Materiál: H 11

Hmotnost: 220 g
Objednací číslo JK: 205512 306021

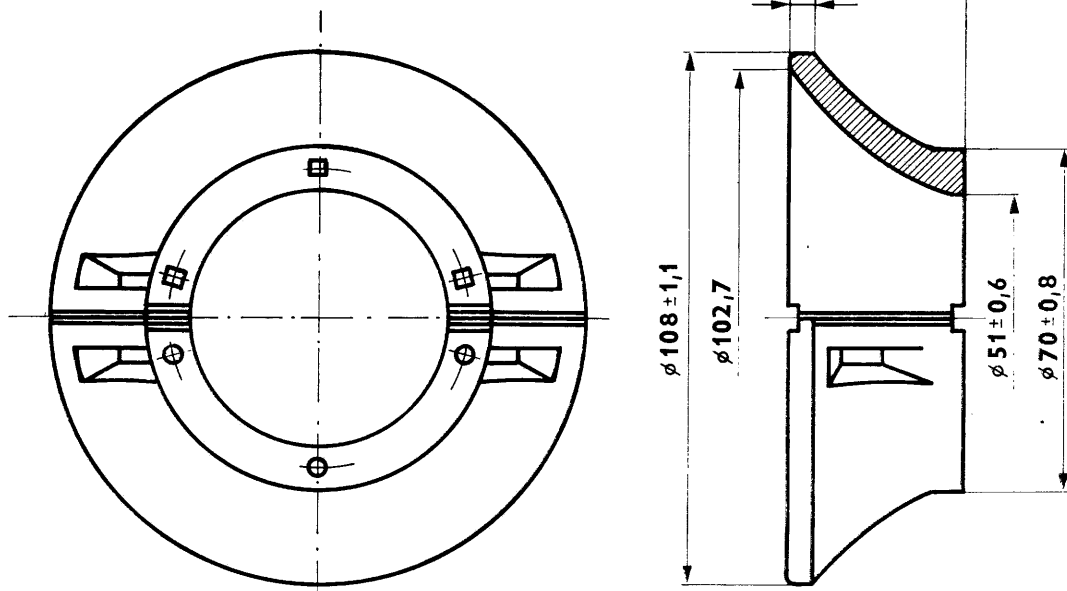


JÁDRA PRO VYCHYLOVACÍ SYSTÉMY BAREVNÝCH OBRAZOVEK

Materiál: H 3 R

Hmotnost: 300 g

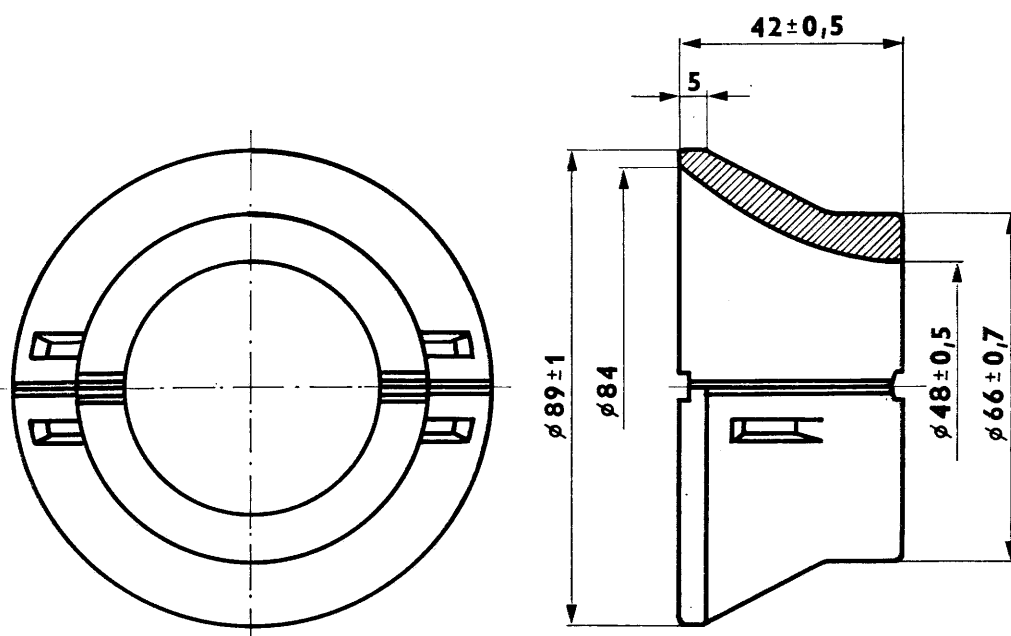
Objednací číslo JK: 205526 306022



Materiál: H 3 R

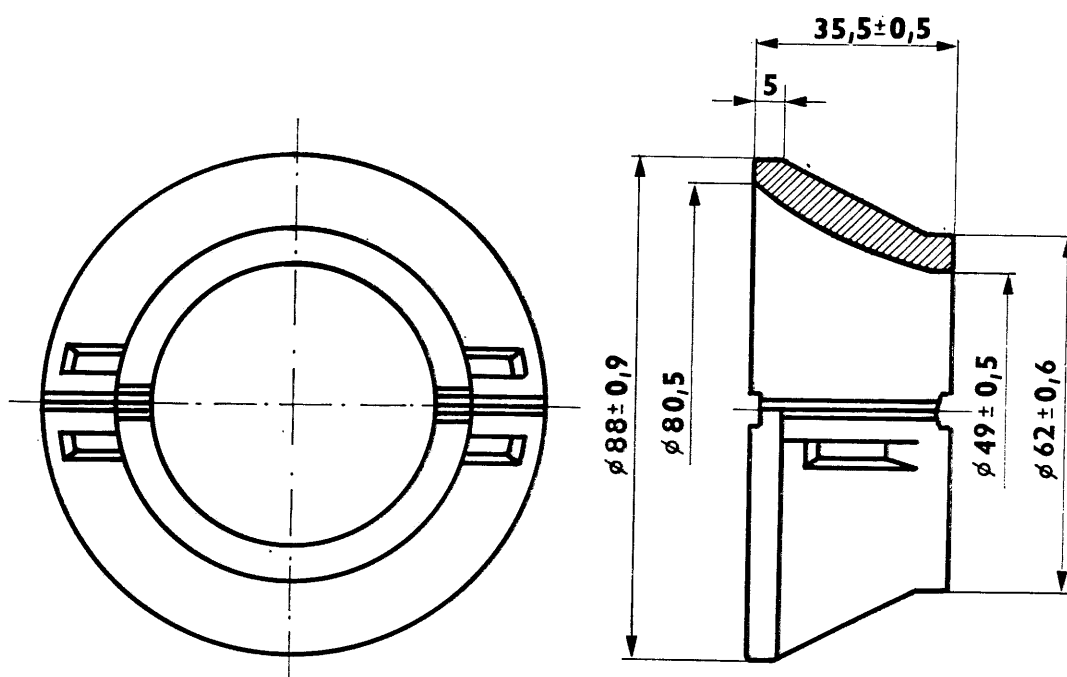
Hmotnost: 255 g

Objednací číslo JK: 205526 306023



Materiál: H 3 R

Hmotnosť: 225 g
Objednací číslo JK: 205526 306024



Fonox

C-jádra

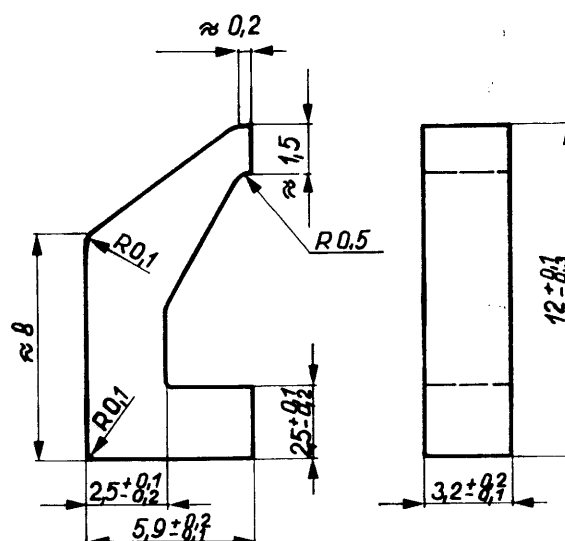
Používají se jako jádra mazacích hlaviček magnetofonů, jádra čtecích, nahrávacích a mazacích hlav počítačů.

Vyráběné typy:

Materiál: H 10

Hmotnost: 0,7 g

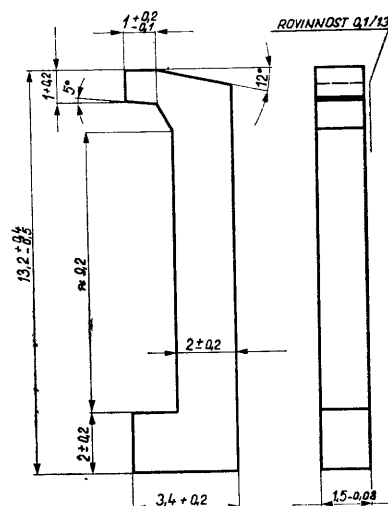
Objednací číslo JK: 205514 306100



Materiál: H 18

Hmotnost: 0,27 g

Objednací číslo JK: 205515 306101



Fonox

X-jádra

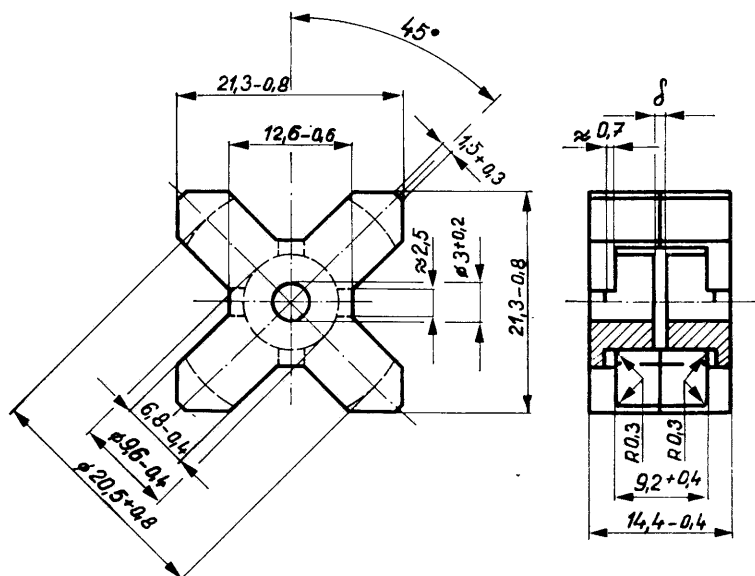
Feritová X-jádra se používají podobně jako jádra hrníčková pro obvody ladění, transformátory, tlumivky, různé indukčnosti atd. Rozměrově odpovídají doporučení IEC.

Údaje pro výpočty:

$$l_{ef} = 38,2 \text{ mm}$$

$$S_{ef} = 66 \text{ mm}^2$$

Hmotnost: 12,5 g



Vyráběné typy:

Materiál: H 22

| Typ | A_L (nH) | δ (mm) | Objednací číslo JK |
|------|------------------|---------------|--------------------|
| X 22 | 3 200 $\pm 25\%$ | — | 205517 206200 |
| | 360 $\pm 10\%$ | 0,10 | 205517 206201 |
| | 1 000 $\pm 10\%$ | 0,05 | 205517 206202 |
| | 1 600 $\pm 15\%$ | 0,03 | 205517 206203 |

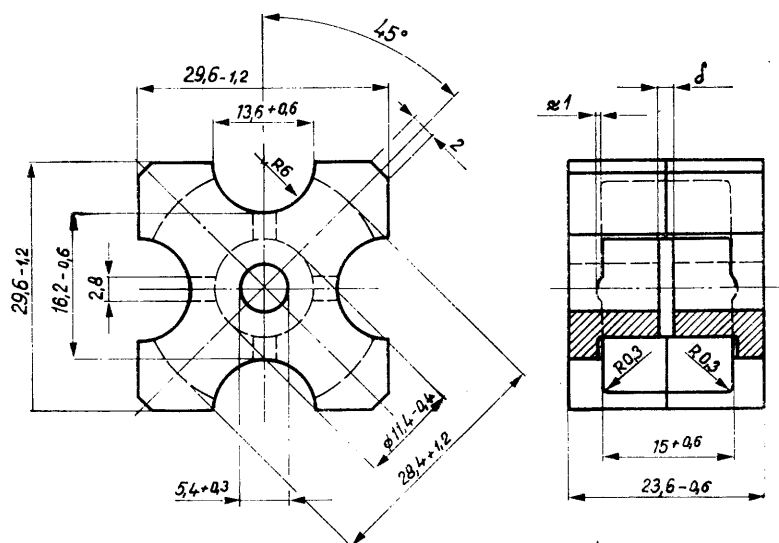
Fonox

Údaje pro výpočty:

$l_{ef} = 55 \text{ mm}$
 $S_{ef} = 111 \text{ mm}^2$
 Hmotnost: 39 g

Vyráběné typy:

Materiál: H 12

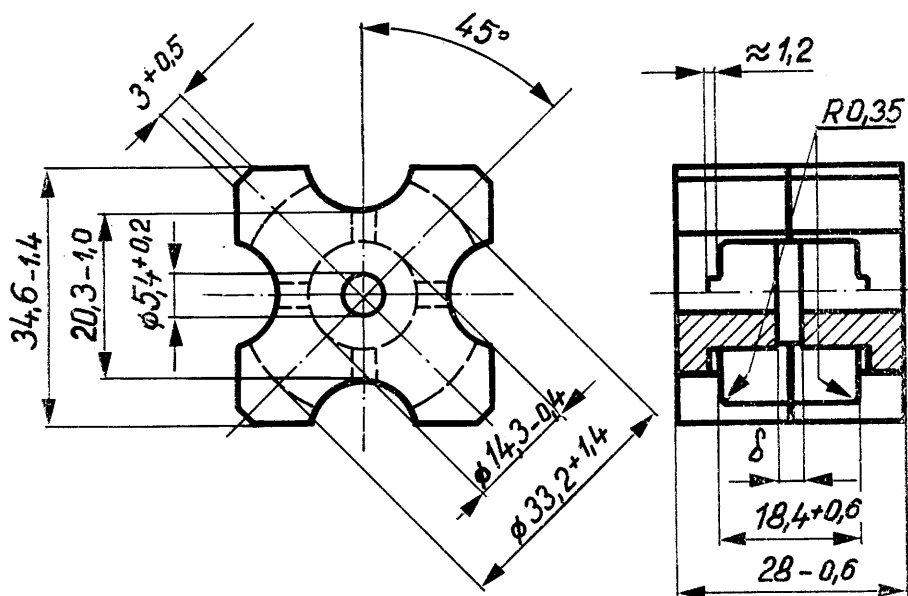


| Typ | A_L (nH) | δ (mm) | Objednací číslo JK |
|------|-------------------|---------------|--------------------|
| X 30 | $2\,800 \pm 25\%$ | — | 205513 206250 |
| | $630 \pm 10\%$ | 0,14 | 205513 206251 |
| | $1\,000 \pm 10\%$ | 0,08 | 205513 206252 |

Údaje pro výpočty:

$l_{ef} = 67 \text{ mm}$
 $S_{ef} = 164 \text{ mm}^2$
 Hmotnost: 60 g

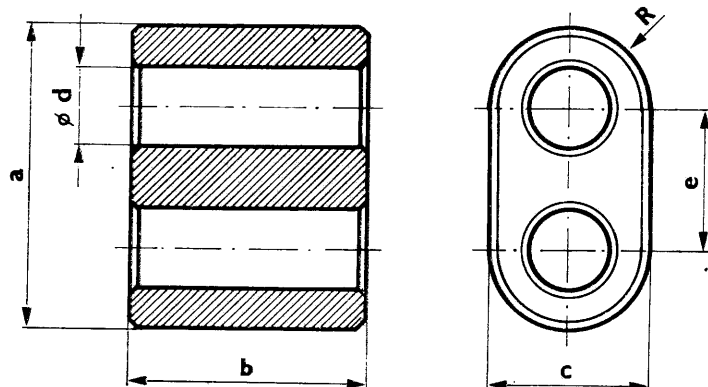
Materiál: H 22



| Typ | A_L (nH) | δ (mm) | Objednací číslo JK |
|------|-------------------|---------------|--------------------|
| X 35 | $5\,800 \pm 25\%$ | — | 205517 206275 |
| | $160 \pm 3\%$ | 1,50 | 205517 206280 |
| | $400 \pm 5\%$ | 0,40 | 205517 206279 |
| | $1\,000 \pm 10\%$ | 0,15 | 205517 206276 |
| | $1\,600 \pm 15\%$ | 0,08 | 205517 206277 |
| | $2\,500 \pm 15\%$ | 0,03 | 205517 206278 |

Dvouotvorová jádra

Používají se pro symetrizační členy vstupních dílů televizních a VKV přijímačů.



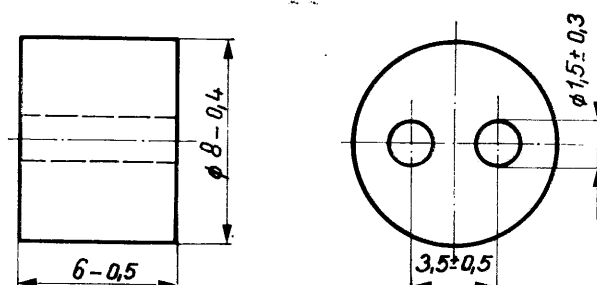
Vyráběné typy:

Rozměry v mm

| a | b | c | e | ϕd | R | Materiál | Hmotnost (g) | Objednací číslo JK |
|--------------|--------------|-------------|---|-------------|---|----------|--------------|--------------------|
| $15 \pm 0,4$ | $12 \pm 0,6$ | $8 \pm 0,3$ | 7 | $4 \pm 0,3$ | 4 | N 1 | 4 | 205534 306300 |
| $15 \pm 0,4$ | $8 \pm 0,5$ | $8 \pm 0,3$ | 7 | $4 \pm 0,3$ | 4 | N 1 | 3 | 205534 306302 |

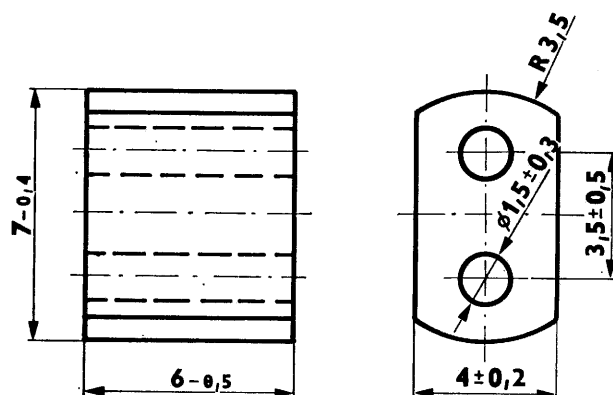
Materiál: N 01

Hmotnost: 1 g
Objednací číslo JK: 205531 306301



Materiál: N 2

Hmotnost: 0,6 g
Objednací číslo JK: 205535 306303



Fonox

Zvonková jádra

Jádra se používají pro magnetické stínění cívek do kmitočtu 5 MHz.

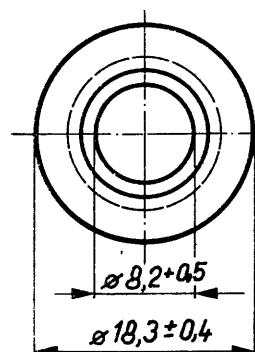
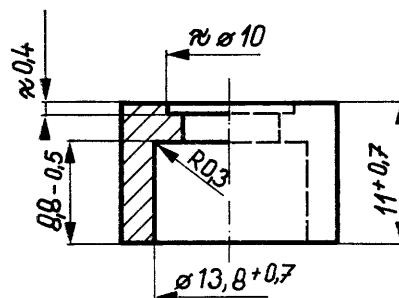
Z elektromagnetických vlastností se zaručuje minimální vzrůst indukčnosti a maximální pokles činitele jakosti při nasazení na měrnou cívku.

Vyráběné typy:

Materiál N 2

Hmotnost: 6,5 g

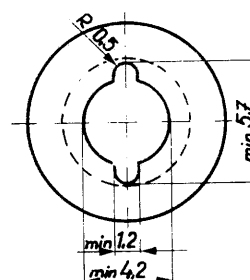
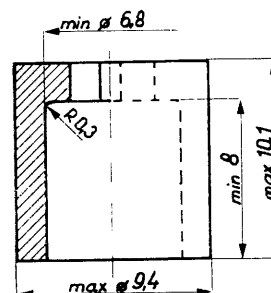
Objednací číslo JK: 205535 306502



Materiál H 7

Hmotnost: 1 g

Objednací číslo JK: 205525 306503

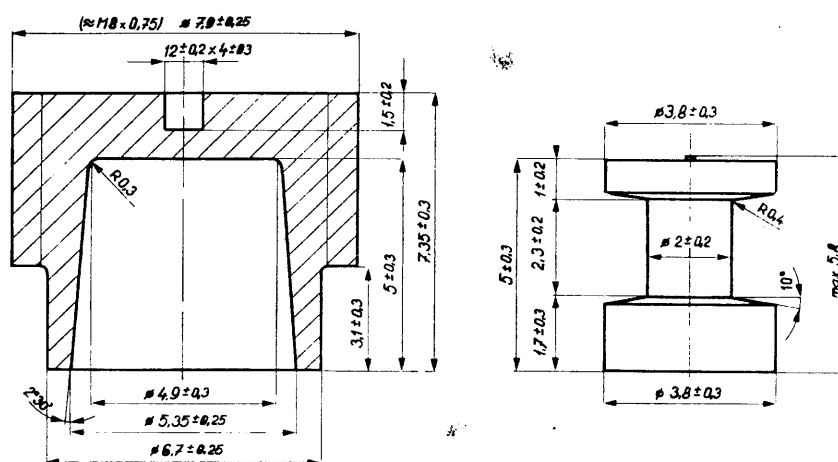


fonox

Jádra pro MF transformátory

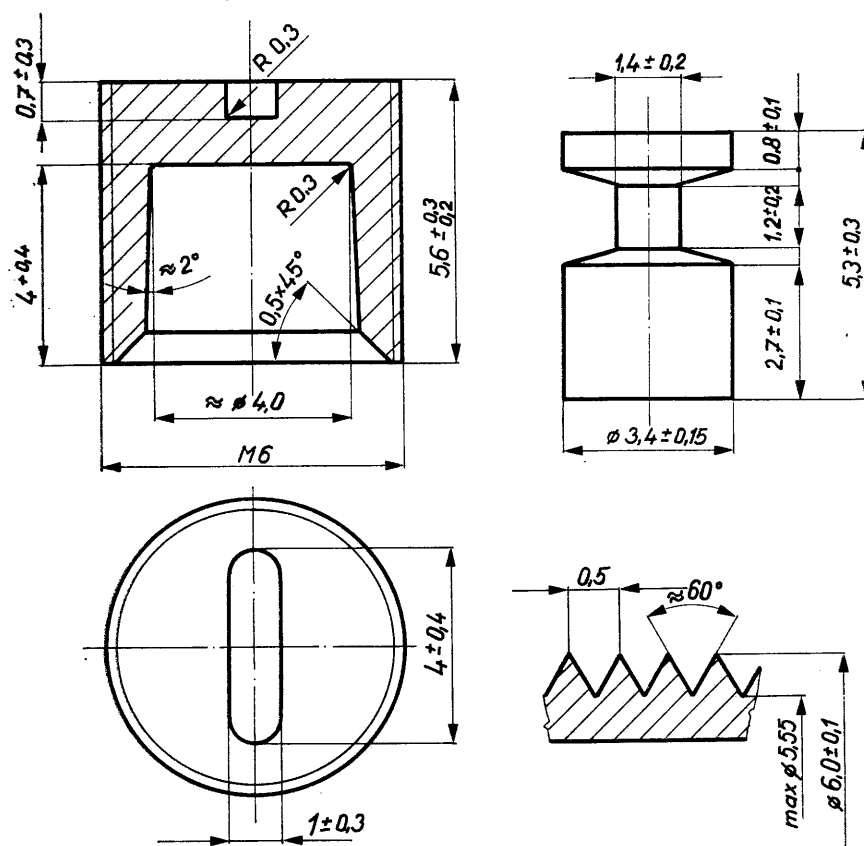
Jádra se používají pro mezifrekvenční transformátory na 470 a 10 700 kHz pro rozhlasové AM a FM přijímače. Cívka se vine přímo na feritové jádro. Nasouváním vlastního hrníčku se mění vzduchová mezera a dochází ke změně indukčnosti.

Vyráběné typy:



| Provedení | Materiál | Pracovní kmitočet (MHz) | Hmotnost (g) | Objednací číslo JK |
|-----------|----------|-------------------------|--------------|--------------------|
| Hrníček | N 1 | 0,47 | 0,9 | 205534 306600 |
| Jádro | N 1 | 0,47 | 0,19 | 205534 306603 |
| Hrníček | N 1 | 10,7 | 0,9 | 205534 306601 |
| Jádro | N 1 | 10,7 | 0,19 | 205534 306604 |

fonox



| Provedení | Materiál | Pracovní kmitočet (MHz) | Hmotnost (g) | Objednací číslo JK |
|-----------|----------|----------------------------|-----------------|--------------------|
| Hrníček | N 1 | 0,47 | 0,35 | 205534 306602 |
| Jádro | N 1 | 0,47 | 0,19 | 205534 306605 |
| Hrníček | N 1 | 10,7 | 0,35 | 205534 306606 |
| Jádro | N 1 | 10,7 | 0,19 | 205534 306607 |

fonox

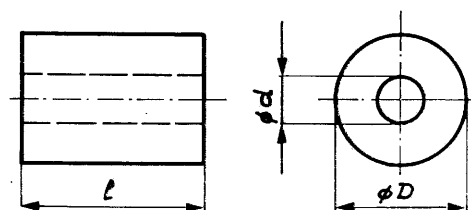
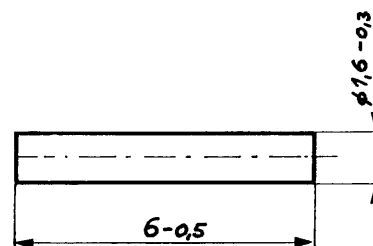
Dolaďovací jádra

Jádra se používají pro dolaďování hrníčkových jader, X - jader, RM - jader se vzduchovou mezerou. Z elektromagnetických parametrů se zaručuje minimální hodnota rozladění u daného hrníčkového jádra.

Vyráběné typy:

Materiál: H 18

Objednací číslo JK: 205515 306700



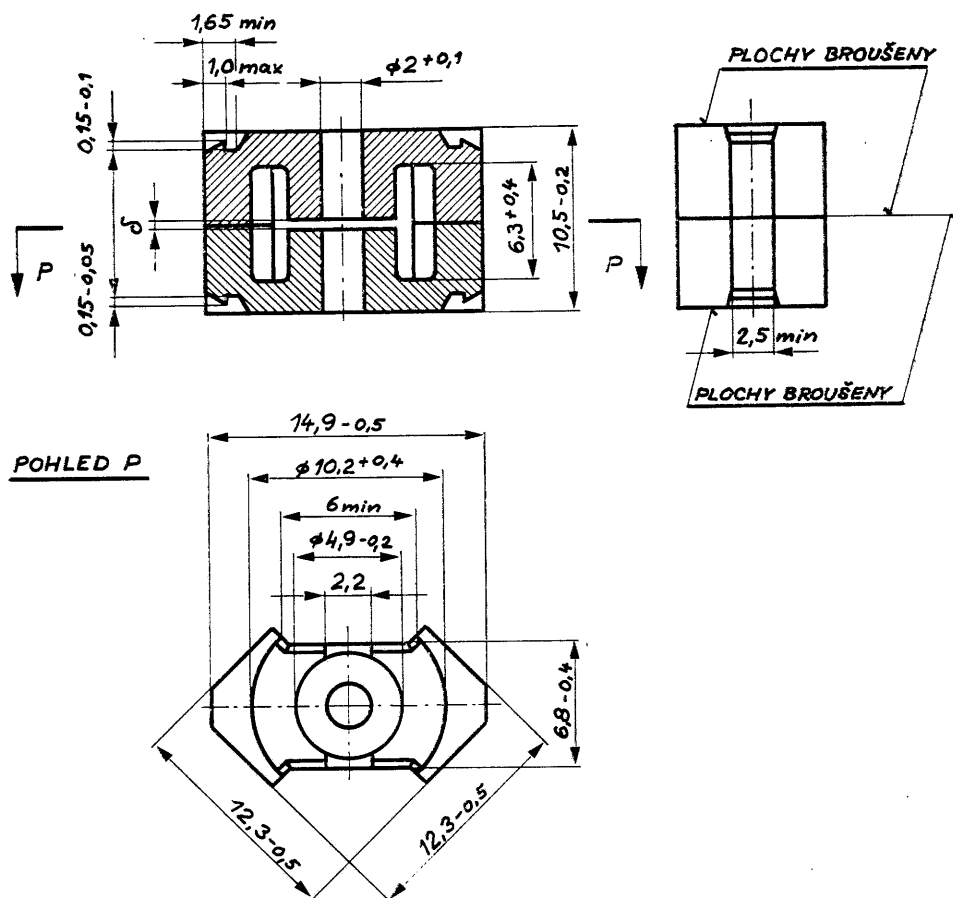
Rozměry v mm

| ØD | Ød | l | Materiál | Hmotnost (g) | Objednací číslo JK |
|-----------|----|---------|----------|--------------|--------------------|
| 2,7—0,1 | 1 | 2±0,1 | H 18 | 0,03 | 205515 306704 |
| 2,7—0,1 | 1 | 2±0,1 | N 01 P | 0,03 | 205536 306704 |
| 2,7—0,1 | 1 | 3,7±0,1 | H 18 | 0,07 | 205515 306705 |
| 2,7—0,1 | 1 | 3,7±0,1 | N 01 P | 0,07 | 205536 306705 |
| 2,75—0,05 | 1 | 4,6±0,1 | H 18 | 0,1 | 205515 306706 |
| 4,5—0,1 | 1 | 6,5±0,1 | H 18 | 0,4 | 205515 306711 |
| 4,5—0,1 | 1 | 10±0,1 | H 18 | 0,65 | 205515 306712 |
| 5,2—0,1 | 2 | 6,2±0,1 | H 18 | 0,5 | 205515 306713 |
| 2,75—0,1 | 1 | 3±0,1 | H 18 | 0,06 | 205515 306714 |
| 5—0,1 | 2 | 6,4—0,2 | H 18 | 0,48 | 205515 306715 |

fonox

RM - jádra

Používají se pro různé obvody filtrů a transformátorů ve sdělovací technice. Svými tvary a rozměry přispívají k jednoduché montáži a miniaturizaci zařízení.



Údaje pro výpočty:

$l_{ef} = 21,4 \text{ mm}$
 $S_{ef} = 21,2 \text{ mm}^2$
 Hmotnost: 3,4 g

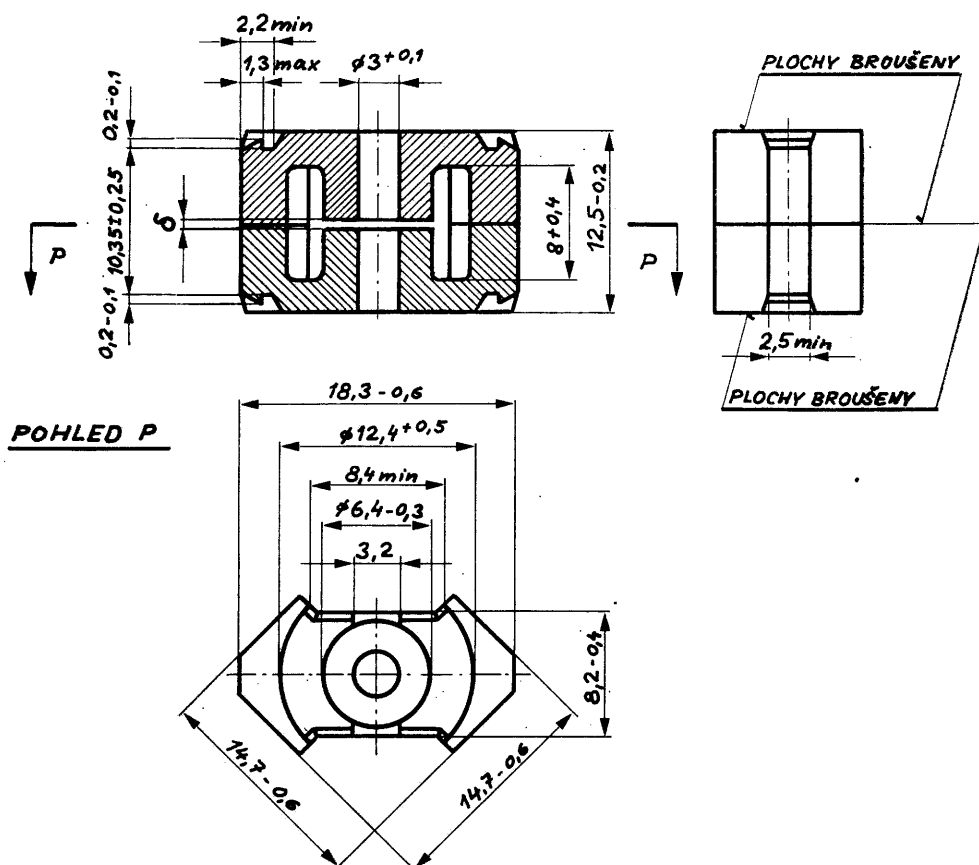
Vyráběné typy:

Materiál: H 12

| Typ | A_L (nH) | δ (mm) | Objednací číslo JK |
|--------|-------------------|---------------|--------------------|
| RM - 5 | $1\,000 \pm 25\%$ | — | 205513 306825 |
| | $40 \pm 3\%$ | 0,75 | 205513 306826 |
| | $63 \pm 3\%$ | 0,40 | 205513 306827 |
| | $100 \pm 3\%$ | 0,20 | 205513 306828 |
| | $160 \pm 5\%$ | 0,10 | 205513 306829 |

fonox

RM - jádra



Údaje pro výpočty:

$$l_{ef} = 27 \text{ mm}$$

$$S_{ef} = 31 \text{ mm}^2$$

Hmotnost: 5,4 g

Vyráběné typy:

Materiál: H 12

| Typ | A_L (nH) | δ (mm) | Objednací číslo JK |
|--------|------------------|---------------|--------------------|
| RM - 6 | $1300 \pm 25 \%$ | — | 205513 306850* |
| | $40 \pm 3 \%$ | 1,1 | 205513 306851* |
| | $63 \pm 3 \%$ | 0,7 | 205513 306852* |
| | $100 \pm 3 \%$ | 0,4 | 205513 306853* |
| | $160 \pm 3 \%$ | 0,2 | 205513 306854* |
| | $250 \pm 3 \%$ | 0,1 | 205513 306855* |

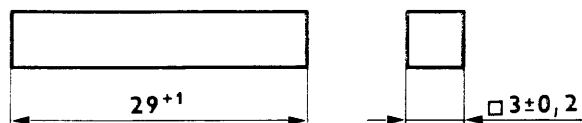
Fonox

HRANOLEK

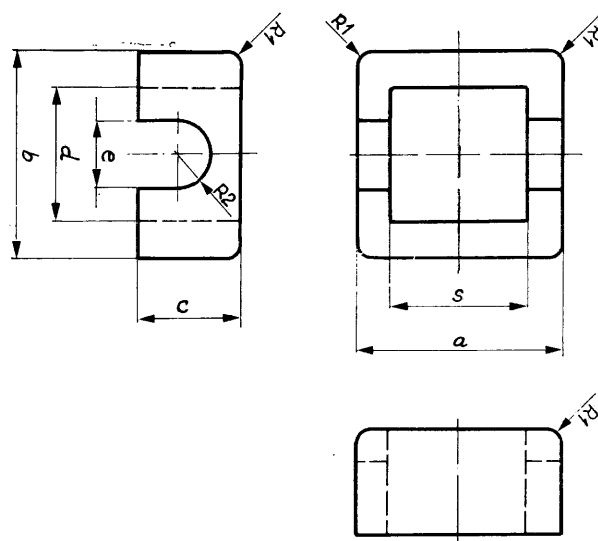
Materiál: N 2

Hmotnost: 1,3 g

Objednací číslo JK: 205535 309004



RÁMEČKOVÁ JÁDRA



Rozměry v mm

| a_{\max} | b_{\max} | c | d_{\min} | e_{\min} | s_{\min} | R1 | R2 | Materiál | Objednací číslo JK |
|------------|------------|---------|------------|------------|------------|-----|-----|----------|--------------------|
| 10,4 | 11,4 | 6,2—0,4 | 7,8 | 4,6 | 6 | 0,5 | 2,3 | H 7 | 205525 309008 |
| 14,5 | 11,6 | 6,5—0,5 | 8 | 4,65 | 10 | 0,5 | 2,3 | H 12 | 205513 309009 |
| 14,7 | 15 | 8,8—0,6 | 11,7 | 5 | 10 | 0,5 | 2,5 | H 7 | 205525 309010 |

Speciální výroby

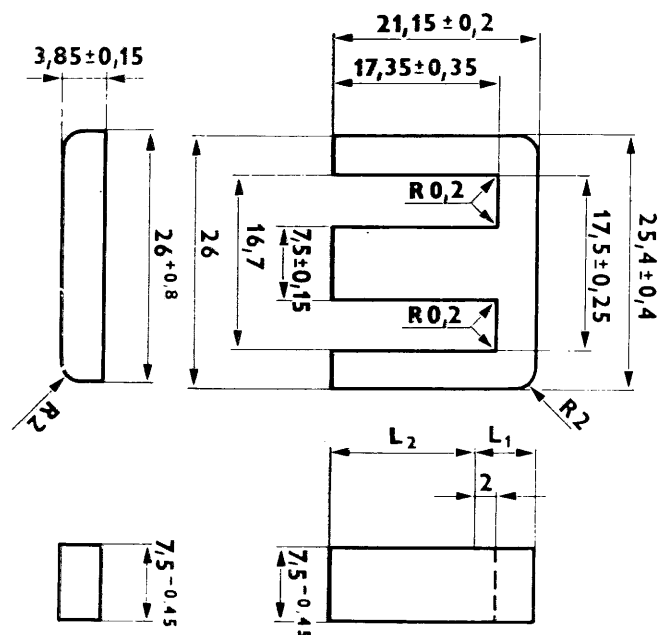
E-I jádro

Materiál: H 21

Údaje pro výpočty:

$$l_{ef} = 57 \text{ mm}$$

$$S_{ef} = 56 \text{ mm}^2$$



Elektromagnetické parametry:

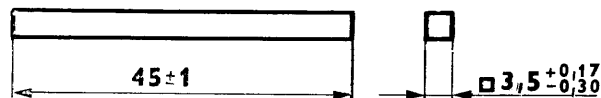
| P (W) při B = 0,2 T f = 15 kHz θ = 23 °C | B (T) při H = 250 A/m θ = 23 °C | B (T) při H = 50 A/m θ = 100 °C | Ojednací číslo JK |
|--|--|--|-------------------|
| ≤ 0,65 | ≥ 0,34 | ≥ 0,1 | 205521 309011 |

HRANOLEK

Materiál: H 21

Hmotnost: 2,5 g

Objednací číslo JK: 205521 309034




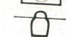

FONOX

V roce 1988 vydala obchodně-technická
služba a propagace s. p. PRAMET
ŠUMPERK nákladem 6 000 výtisků
Výtiskly Moravské tiskařské závody, n. p.,
Olomouc, provoz 13, Šumperk

VÝROBCE:



UNIČOVSKÁ ULICE 2, PSČ 787 53 ŠUMPERK

 42 21 - 9
 PRAMET ŠUMPERK
 66 233

EXPORT:

Ferromet
PRAHA

PODNIK ZAHRANIČNÍHO OBCHODU
Opletalova 27
111 81 Praha 1
Telegram: Ferromet Praha
Telefon: 21 41
Dálnopis: 121410; 121411 Ferromet
Praha